

Prof. Dr. Winfried Hochstättler

**Kurs 01142**

# **Algorithmische Mathematik**

**LESEPROBE**

Fakultät für  
**Mathematik und  
Informatik**

---

Das Werk ist urheberrechtlich geschützt. Die dadurch begründeten Rechte, insbesondere das Recht der Vervielfältigung und Verbreitung sowie der Übersetzung und des Nachdrucks bleiben, auch bei nur auszugsweiser Verwertung, vorbehalten. Kein Teil des Werkes darf in irgendeiner Form (Druck, Fotokopie, Mikrofilm oder ein anderes Verfahren) ohne schriftliche Genehmigung der FernUniversität reproduziert oder unter Verwendung elektronischer Systeme verarbeitet, vervielfältigt oder verbreitet werden.

# Inhaltsverzeichnis

<b>1</b>	<b>Notation und Grundstrukturen</b>	<b>1</b>
1.1	Gliederung und Motivation . . . . .	1
1.2	Notation . . . . .	3
1.3	Abbildungen . . . . .	5
1.4	Beweismethoden und das Prinzip der vollständigen Induktion . . . .	7
1.4.1	Beweis durch Kontraposition . . . . .	8
1.4.2	Widerspruchsbeweis oder reductio ad absurdum . . . . .	9
1.4.3	Das Prinzip der vollständigen Induktion . . . . .	10
<b>2</b>	<b>Elementare Abzählprobleme und diskrete Wahrscheinlichkeiten</b>	<b>13</b>
2.1	Abbildungen und Mengen . . . . .	13
2.2	Injektive Abbildungen, Permutationen und Fakultät . . . . .	15
2.3	Binomialkoeffizienten . . . . .	19
2.4	Abschätzungen . . . . .	26
2.5	Abschätzungen für Fakultäten und Binomialkoeffizienten . . . . .	29
2.6	Das Prinzip von Inklusion und Exklusion . . . . .	36
2.7	Diskrete Wahrscheinlichkeitsrechnung . . . . .	41
2.7.1	Wahrscheinlichkeitsraum . . . . .	42
2.7.2	Bedingte Wahrscheinlichkeiten . . . . .	45
2.7.3	Paradoxa . . . . .	46
2.7.4	Zufallsvariablen . . . . .	48
2.8	Lösungsvorschläge zu den Übungen . . . . .	51
<b>3</b>	<b>Graphen</b>	<b>59</b>
3.1	Relationen . . . . .	59
3.1.1	Äquivalenzrelationen . . . . .	60
3.1.2	Partialordnungen . . . . .	63
3.2	Definition eines Graphen, Isomorphismus . . . . .	65

3.3	Teilgraphen . . . . .	70
3.4	Zusammenhang . . . . .	71
3.5	Kodierung von Graphen . . . . .	73
3.6	Effiziente Algorithmen . . . . .	77
3.7	Breitensuche . . . . .	79
3.8	Tiefensuche . . . . .	82
3.9	Valenzsequenzen . . . . .	84
3.10	Eulertouren . . . . .	90
3.11	Gerichtete Graphen und Eulertouren . . . . .	97
3.12	2-Zusammenhang . . . . .	100
3.13	Lösungsvorschläge zu den Übungen . . . . .	107
<b>4</b>	<b>Bäume und Matchings</b>	<b>119</b>
4.1	Definition und Charakterisierungen . . . . .	119
4.2	Isomorphismen von Bäumen . . . . .	123
4.2.1	Isomorphismen von gepflanzten Bäumen . . . . .	124
4.2.2	Isomorphismen von Wurzelbäumen . . . . .	126
4.2.3	Isomorphismen von Bäumen . . . . .	127
4.3	Aufspannende Bäume . . . . .	129
4.4	Minimale aufspannende Bäume . . . . .	132
4.5	Die Algorithmen von Prim-Jarnik und Borůvka . . . . .	135
4.6	Die Anzahl aufspannender Bäume . . . . .	141
4.7	Bipartites Matching . . . . .	143
4.8	Stabile Hochzeiten . . . . .	153
4.9	Lösungsvorschläge zu den Übungen . . . . .	157
<b>5</b>	<b>Numerik und lineare Algebra</b>	<b>169</b>
5.1	Etwas mehr Notation . . . . .	169
5.2	Kodierung von Zahlen . . . . .	171
5.3	Fehlerquellen und Beispiele . . . . .	180
5.4	Gaußelimination und <i>LU</i> -Zerlegung, Pivotstrategien . . . . .	185
5.5	<i>LU</i> -Zerlegung . . . . .	188
5.6	Gauß-Jordan-Algorithmus . . . . .	198
5.7	Elementares über Eigenwerte . . . . .	199
5.8	Cholesky-Faktorisierung . . . . .	201
5.9	Matrixnormen . . . . .	206
5.10	Kondition . . . . .	211

---

5.11	Lösungsvorschläge zu den Übungen . . . . .	215
<b>6</b>	<b>Nichtlineare Optimierung</b>	<b>229</b>
6.1	Lokale Minima bei Funktionen einer Variablen . . . . .	231
6.2	Abbildungen in mehreren Veränderlichen . . . . .	235
6.3	Steilkurs mehrdimensionale Differentialrechnung . . . . .	239
6.3.1	Partielle und totale Ableitungen . . . . .	239
6.3.2	Kurven . . . . .	245
6.4	Notwendige und hinreichende Bedingungen für Extremwerte . . . . .	250
6.5	Exkurs Mannigfaltigkeiten und Tangentialräume . . . . .	256
6.6	Bedingungen für Extrema auf gleichungsdefinierten Mengen . . . . .	258
6.7	Bedingungen für Extrema auf ungleichungsdefinierten Mengen . . . . .	264
6.8	Lösungsvorschläge zu den Übungen . . . . .	273
<b>7</b>	<b>Numerische Verfahren zur Nichtlinearen Optimierung</b>	<b>285</b>
7.1	Das allgemeine Suchverfahren . . . . .	285
7.2	Spezielle Suchverfahren . . . . .	292
7.3	Koordinatensuche und Methode des steilsten Abstiegs . . . . .	301
7.4	Newtonverfahren . . . . .	308
7.5	Verfahren der konjugierten Richtungen . . . . .	312
7.6	Lösungsvorschläge zu den Übungen . . . . .	323
<b>8</b>	<b>Lineare Optimierung</b>	<b>337</b>
8.1	Modellbildung . . . . .	338
8.2	Der Dualitätssatz der Linearen Optimierung . . . . .	347
8.3	Das Simplexverfahren . . . . .	352
8.4	Tableauform des Simplexalgorithmus . . . . .	359
8.5	Pivotwahl, Entartung, Endlichkeit . . . . .	361
8.6	Bemerkungen zur Numerik . . . . .	366
8.7	Die Zweiphasenmethode . . . . .	367
8.8	Sensitivitätsanalyse . . . . .	372
8.9	Lösungsvorschläge zu den Übungen . . . . .	375
	<b>Symbolverzeichnis</b>	<b>385</b>
	<b>Index</b>	<b>387</b>
	<b>Literaturverzeichnis</b>	<b>397</b>



# Kapitel 4

## Bäume und Matchings

Wir haben im letzten Kapitel Bäume implizit als Ergebnis unserer Suchverfahren kennen gelernt. In diesem Kapitel wollen wir diese Graphenklasse ausführlich untersuchen.

### 4.1 Definition und Charakterisierungen

Die in den Suchverfahren konstruierten Graphen waren zusammenhängend und enthielten keine Kreise. Also vereinbaren wir:

**4.1.1 Definition.** Ein zusammenhängender Graph  $T = (V, E)$ , der keinen Kreis enthält, heißt *Baum* (engl. *tree*).

Wenn ein Graph keinen Kreis enthält, muss jeder maximale Weg zwangsläufig in einer „Sackgasse“ enden. Eine solche Sackgasse in einem Graphen nennen wir ein *Blatt*.

**4.1.2 Definition.** Sei  $G = (V, E)$  ein Graph und  $v \in V$  mit  $\deg(v) = 1$ . Dann nennen wir  $v$  ein *Blatt* von  $G$ .

Der Text vor der Definition deutet an, wie wir die Existenz eines Blattes in einem Baum mit mindestens zwei Knoten beweisen können. Genauer haben wir in einem Graphen ohne Kreis sogar immer mindestens zwei Blätter und der Beweis dieser Aussage ist viel eleganter als das oben angedeutete Argument.

**4.1.3 Lemma.** *Jeder Baum mit mindestens zwei Knoten hat mindestens zwei Blätter.*

**Beweis.** Da der Baum zusammenhängend ist und mindestens zwei Knoten hat, enthält er Wege der Länge mindestens 1. Sei  $P = (v_1, \dots, v_k)$  ein möglichst langer

Weg in  $T$ . Da  $T$  kreisfrei ist, ist  $v_1$  zu keinem von  $v_3, \dots, v_k$  adjazent. Dann muss  $\deg(v_1)$  aber schon 1 sein, da man ansonsten  $P_k$  verlängern könnte. Die gleiche Argumentation gilt für  $v_k$ .  $\square$

Wenn wir an einem Baum ein Blatt „abzupfen“, bleibt er immer noch ein Baum. Gleiches gilt, wenn wir ein Blatt „ankleben“.

**4.1.4 Lemma.** Sei  $G = (V, E)$  ein Graph und  $v$  ein Blatt in  $G$ . Dann ist  $G$  ein Baum genau dann, wenn  $G \setminus v$  ein Baum ist.

**Beweis.**

„ $\Rightarrow$ “ Sei  $G$  ein Baum und  $v$  ein Blatt von  $G$ . Dann enthält kein Weg in  $G$  den Knoten  $v$  als inneren Knoten. Also ist  $G \setminus v$  immer noch zusammenhängend und gewiss weiterhin kreisfrei.

„ $\Leftarrow$ “ Sei umgekehrt nun vorausgesetzt, dass  $G \setminus v$  ein Baum ist. Da  $v$  ein Blatt ist, hat es einen Nachbarn  $u$ , von dem aus man, da  $G \setminus v$  nach Voraussetzung zusammenhängend ist, in  $G \setminus v$  alle Knoten erreichen kann, also ist  $G$  zusammenhängend. Offensichtlich kann  $v$  auf keinem Kreis liegen.  $\square$

Lemma 4.1.4 ist nun ein wesentliches Hilfsmittel um weitere Eigenschaften, die Bäume charakterisieren, induktiv zu beweisen.

**4.1.5 Satz.** Sei  $T = (V, E)$  ein Graph und  $|V| \geq 2$ . Dann sind paarweise äquivalent:

- a)  $T$  ist ein Baum.
- b) Zwischen je zwei Knoten  $v, w \in V$  gibt es genau einen Weg von  $v$  nach  $w$ .
- c)  $T$  ist zusammenhängend und für alle  $e \in E$  ist  $T \setminus e$  unzusammenhängend.
- d)  $T$  ist kreisfrei und für alle  $\bar{e} \in \binom{V}{2} \setminus E$  enthält  $T + \bar{e}$  einen Kreis.
- e)  $T$  ist zusammenhängend und  $|E| = |V| - 1$ .
- f)  $T$  ist kreisfrei und  $|E| = |V| - 1$ .

**Beweis.** Ist  $|V| = 2$ , so sind alle Bedingungen dann und nur dann erfüllt, wenn  $G$  isomorph zum  $K_2$  ist. Man beachte, dass es in diesem Fall in der Bedingung d) eine Kante  $\bar{e} \in \binom{V}{2} \setminus E$  nicht gibt, weswegen die Bedingung trivialerweise erfüllt ist.

Wir fahren fort per Induktion und nehmen an, dass  $|V| \geq 3$  und die Gültigkeit der Äquivalenz für Graphen mit höchstens  $|V| - 1$  Knoten bewiesen sei.



$a) \Rightarrow b)$  Seien also  $v, w \in V$ . Ist  $v$  oder  $w$  ein Blatt in  $G$ , so können wir o.E. annehmen, dass  $v$  ein Blatt ist, ansonsten vertauschen wir die Namen. Sei  $x$  der eindeutige Nachbar des Blattes  $v$  in  $T$ . Nach Lemma 4.1.4 ist  $T \setminus v$  ein Baum. Also gibt es nach Induktionsvoraussetzung genau einen Weg von  $w$  nach  $x$  in  $T \setminus v$ . Diesen können wir mit  $(x, v)$  zu einem Weg von  $w$  nach  $v$  verlängern. Umgekehrt setzt sich jeder Weg von  $v$  nach  $w$  aus der Kante  $(x, v)$  und einem  $xw$ -Weg in  $T \setminus v$  zusammen. Also gibt es auch höchstens einen  $vw$ -Weg in  $T$ .

Ist weder  $v$  noch  $w$  ein Blatt, so folgt die Behauptung per Induktion, wenn wir ein beliebiges Blatt aus  $G$  entfernen.

$b) \Rightarrow c)$  Wenn es zwischen je zwei Knoten einen Weg gibt, ist der Graph zusammenhängend. Sei  $e = (v, w) \in E$ . Gäbe es in  $T \setminus e$  einen  $vw$ -Weg, dann gäbe es in  $T$  deren zwei, da  $e$  schon einen  $vw$ -Weg bildet. Also muss  $T \setminus e$  unzusammenhängend sein.

$c) \Rightarrow d)$  Wenn es in  $T$  einen Kreis gibt, so kann man jede beliebige Kante dieses Kreises entfernen, ohne den Zusammenhang zu zerstören, da diese Kante in jedem Spaziergang durch den Rest des Kreises ersetzt werden kann. Da aber das Entfernen einer beliebigen Kante nach Voraussetzung in  $c)$  den Zusammenhang zerstört, muss  $T$  kreisfrei sein. Die Aussage in  $c)$  verbietet also die Existenz eines Kreises.

Sei  $\bar{e} = (v, w) \in \binom{V}{2} \setminus E$ . Da  $T$  zusammenhängend ist, gibt es in  $T$  einen  $vw$ -Weg, der mit der Kante  $\bar{e}$  einen Kreis in  $T + \bar{e}$  bildet.

$d) \Rightarrow a)$  Wir müssen zeigen, dass  $T$  zusammenhängend und kreisfrei ist. Letzteres wird in  $d)$  explizit vorausgesetzt. Wenn  $T$  nicht zusammenhängend wäre, so könnte man eine Kante zwischen zwei Komponenten einfügen, ohne einen Kreis zu erzeugen, im Widerspruch zu  $d)$ . Also muss  $T$  zusammenhängend sein.

$a) \Rightarrow e), f)$  Nach Voraussetzung ist  $T$  sowohl zusammenhängend als auch kreisfrei. Sei  $v$  ein Blatt in  $T$ . Nach Lemma 4.1.4 ist  $T \setminus v$  ein Baum. Nach Induktionsvoraussetzung ist also  $|E(T \setminus v)| = |V(T \setminus v)| - 1$ . Nun ist aber  $|E(T)| = |E(T \setminus v)| + 1 = |V(T \setminus v)| + 1 = |V(T)| - 1$ .

a)  $\Leftarrow$  e) Da  $T$  nach Voraussetzung zusammenhängend ist und  $|V| \geq 3$ , haben wir  $\deg(v) \geq 1$  für alle  $v \in V$  und nach dem Handshake Lemma Proposition 3.9.1

$$\sum_{v \in V} \deg(v) = 2|E| = 2|V| - 2.$$

Angenommen alle Knoten hätten Valenz  $\deg_G(v) \geq 2$ , so müsste

$$\sum_{v \in V} \deg(v) \geq 2|V|$$

sein. Da dies nicht so ist, aber  $G$  zusammenhängend und nicht trivial ist, muss es einen Knoten mit  $\deg(v) = 1$ , also ein Blatt in  $T$ , geben. Dann ist  $T \setminus v$  weiterhin zusammenhängend und  $|E(T \setminus v)| = |V(T \setminus v)| - 1$ . Nach Induktionsvoraussetzung ist also  $T \setminus v$  ein Baum und somit nach Lemma 4.1.4 auch  $T$  ein Baum.

a)  $\Leftarrow$  f) Da  $T$  nach Voraussetzung kreisfrei und  $|V| \geq 3$  ist, hat  $T$  mindestens eine Kante. Angenommen  $T$  hätte kein Blatt. Dann könnten wir an einem beliebigen Knoten einen Weg starten und daraufhin jeden Knoten durch eine andere Kante verlassen, als wir sie betreten haben. Da  $|V|$  endlich ist, müssen dabei Knoten wiederholt auftreten, was wegen der Kreisfreiheit nicht möglich ist. Also hat  $T$  ein Blatt und wir können wie in a)  $\Leftarrow$  e) schließen.

Man beachte, dass die Induktionsvoraussetzung nur bei den Implikationen a)  $\Rightarrow$  b), a)  $\Rightarrow$  e), a)  $\Rightarrow$  f), a)  $\Leftarrow$  e) und a)  $\Leftarrow$  f) benötigt wurde.  $\square$

**4.1.6 Aufgabe.** Sei  $T = (V, E)$  ein Baum und  $\bar{e} \in \binom{V}{2} \setminus E$ . Zeigen Sie:

- $\bar{e}$  schließt genau einen Kreis  $C$  mit  $T$ , den wir mit  $C(T, \bar{e})$  bezeichnen.
- Für alle  $e \in C(T, \bar{e}) \setminus \bar{e}$  ist  $(T + \bar{e}) \setminus e$  ein Baum.

Lösung siehe Lösung 4.9.1.

**4.1.7 Definition.** Wir nennen den Kreis  $C(T, \bar{e})$  aus Aufgabe 4.1.6 den *Fundamentalkreis* bezüglich  $T$  und  $\bar{e}$ .

## 4.2 Isomorphismen von Bäumen

Im Gegensatz zu der Situation bei allgemeinen Graphen, bei denen angenommen wird, dass die Isomorphie ein algorithmisch schweres Problem ist, kann man bei Bäumen (und einigen anderen speziellen Graphenklassen) die Isomorphie zweier solcher Graphen effizient testen.

Wir stellen in diesem Abschnitt einen Algorithmus vor, der zu jedem Baum mit  $n$  Knoten einen  $2n$ -stelligen Klammerausdruck berechnet, den wir als den *Code* des Graphen bezeichnen. Dieser Code zweier Bäume ist genau dann gleich, wenn die Bäume isomorph sind. Die eindeutige Zuordnung eines Codes zu einer Klasse isomorpher Graphen ist ein probates Mittel zur Lösung des Isomorphieproblems, aber nicht unbedingt eine äquivalente Fragestellung [31].

Zunächst ist folgendes Konzept hilfreich, das wir implizit schon bei der Breitensuche kennen gelernt haben.

**4.2.1 Definition.** Ein *Wurzelbaum* oder eine *Arboreszenz* ist ein Paar  $(T, r)$  bestehend aus einem Baum  $T$  und einem ausgezeichneten Knoten  $r \in V$ , den wir als *Wurzelknoten* bezeichnen. Wir denken uns alle Kanten des Baumes so orientiert, dass die Wege von  $r$  zu allen anderen Knoten  $v$  gerichtete Wege sind. Ist dann  $(v, w)$  ein Bogen, so sagen wir  $v$  ist *Elternknoten* von  $w$  und  $w$  ist *Kind* oder *direkter Nachfahre* von  $v$ .

**4.2.2 Aufgabe.** Zeigen Sie: Ein zusammenhängender, gerichteter Graph  $D = (V, A)$  ist genau dann ein Wurzelbaum, wenn es genau einen Knoten  $r \in V$  gibt, so dass  $\deg^+(r) = 0$  und für alle anderen Knoten  $v \in V \setminus \{r\}$  gilt

$$\deg^+(v) = 1.$$

Lösung siehe Lösung 4.9.2.

Wir werden in unserem Algorithmus zunächst in einem Baum einen Knoten als Wurzel auszeichnen, so dass wir bei isomorphen Bäumen isomorphe Wurzelbäume erhalten. Diese Wurzelbäume pflanzen wir dann in die Zeichenebene, wobei wir wieder darauf achten, dass wir isomorphe Wurzelbäume isomorph einpflanzen. Gepflanzten Bäumen sieht man dann die Isomorphie fast sofort an.

**4.2.3 Definition.** Ein *gepflanzter Baum*  $(T, r, \rho)$  ist ein Wurzelbaum, bei dem an jedem Knoten  $v \in V$  eine Reihenfolge  $\rho(v)$  der direkten Nachfahren vorgegeben ist. Dadurch ist eine „Zeichenvorschrift“ definiert, wie wir den Graphen in die Ebene einzubetten haben.

Wie wir eben schon angedeutet haben, kann man für jede dieser Baumklassen mit zusätzlicher Struktur Isomorphismen definieren. Ein Isomorphismus zweier Wurzelbäume  $(T, r), (T', r')$  ist ein Isomorphismus von  $T$  und  $T'$ , bei dem  $r$  auf  $r'$  abgebildet wird. Ein Isomorphismus gepflanzter Bäume ist ein Isomorphismus der Wurzelbäume, bei dem zusätzlich die Reihenfolge der direkten Nachfahren berücksichtigt wird.

Die Bäume in Abbildung 4.1 sind alle paarweise isomorph als Bäume, die beiden rechten sind isomorph als Wurzelbäume, und keine zwei sind isomorph als gepflanzte Bäume.

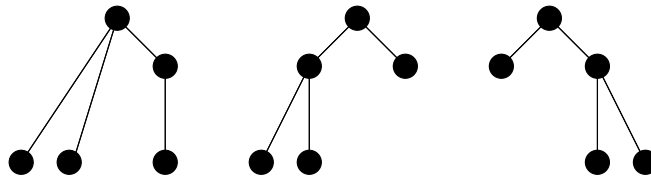


Abbildung 4.1: Gepflanzte Bäume

Wie angekündigt gehen wir nun in drei Schritten vor.

- a) Zu einem gegebenen Baum bestimmen wir zunächst eine Wurzel.
- b) Zu einem Wurzelbaum bestimmen wir eine kanonische Pflanzung.
- c) Zu einem gepflanzten Baum bestimmen wir einen eindeutigen Code.

Diesen Code des — wir sagen — *kanonisch gewurzelten* und *kanonisch gepflanzten* Baumes definieren wir als Code unseres Baumes, von dem aus wir gestartet waren. Da sich der erste und der zweite Schritt leichter darstellen lassen, wenn der dritte bekannt ist, stellen wir dieses Verfahren von hinten nach vorne vor.

### 4.2.1 Isomorphismen von gepflanzten Bäumen

Sei also  $(T, r, \rho)$  ein gepflanzter Baum. Wir definieren den Code „bottom-up“ für jeden Knoten, indem wir ihn zunächst für Blätter erklären und dann für gepflanzte Bäume, bei denen alle Knoten außer der Wurzel schon einen Code haben. Dabei identifizieren wir den Code eines Knotens  $x$  mit dem Code des gepflanzten Baumes, der durch den Ausgangsbaum auf  $x$  und allen seinen (nicht notwendigerweise direkten) Nachfahren induziert wird.

- Alle Blätter haben den Code  $()$ .
- Ist  $x$  ein Knoten mit Kindern in der Reihenfolge  $y_1, \dots, y_k$ , deren Codes  $C_1, \dots, C_k$  sind, so erhält  $x$  den Code  $(C_1 C_2 \dots C_k)$ .

Wir können nun aus dem Code den gepflanzten Baum wieder rekonstruieren. Dazu stellen wir zunächst fest, dass wir durch obiges Verfahren nur wohlgeklammerte Ausdrücke erhalten.

**4.2.4 Definition.** Sei  $C \in \{(\,)\}^{2m}$  eine Zeichenkette aus Klammern. Dann nennen wir  $C$  *wohlgeklammert*, wenn  $C$  gleich viele öffnende wie schließende Klammern enthält und mit einer öffnenden Klammer beginnt, welche erst mit der letzten Klammer geschlossen wird.

**4.2.5 Beispiel.** Der Ausdruck  $C_1 = (((()())))$  ist wohlgeklammert, aber die Ausdrücke  $C_2 = (())(()())$  und  $C_3 = ()()()$  sind nicht wohlgeklammert.

**4.2.6 Aufgabe.** Der Code eines gepflanzten Baumes ist ein wohlgeklammerter Ausdruck.

Lösung siehe Lösung 4.9.3.

Wenn wir nun einen wohlgeklammerten Ausdruck haben, erhalten wir rekursiv einen gepflanzten Baum wie folgt.

- Zeichne eine Wurzel  $r$ .
- Streiche die erste (öffnende) Klammer.
- Solange das nächste Zeichen eine öffnende Klammer ist
  - Suche die entsprechende schließende Klammer, schreibe die so definierte Zeichenkette  $C_i$  bis hierhin raus, hänge die Wurzel  $y_i$  des durch  $C_i$  definierten gepflanzten Wurzelbaums als rechtes Kind an  $r$  an und lösche  $C_i$  aus  $C$ .
  - Streiche die letzte (schließende) Klammer.

In dem Beispiel in Abbildung 4.2 erhalten wir als Codes der Kinder der Wurzel auf diese Weise völlig zu Recht  $C_1 = (((()())))(()())$ ,  $C_2 = ()$ ,  $C_3 = (()())$ .

Wir erhalten also zu jedem wohlgeklammerten Ausdruck einen gepflanzten Baum. Dennoch ist nicht jeder wohlgeklammerte Ausdruck der Code eines Baumes. Dies ist schon im Beispiel in Abbildung 4.2 so. Der berechnete Code ist hier nicht der Code des abgebildeten Baumes, da dieser nicht kanonisch gepflanzt ist. Was kanonische Pflanzung genau bedeutet, werden wir in Unterabschnitt 4.2.2 erklären.

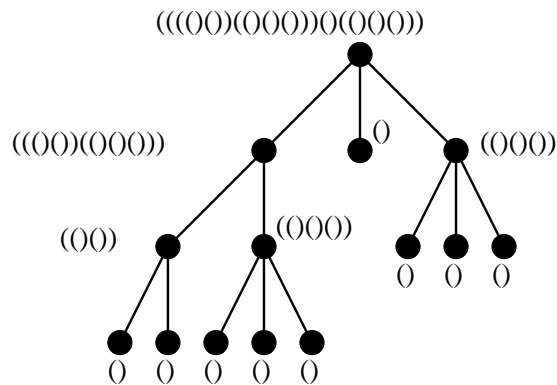


Abbildung 4.2: Der Code eines gepflanzten Baumes

**4.2.7 Aufgabe.** Sei  $(T, r, \rho)$  ein gepflanzter Baum und  $C$  der Code von  $(T, r, \rho)$ . Zeigen Sie: Mittels der soeben beschriebenen rekursiven Prozedur erhalten wir einen gepflanzten Baum, der isomorph zu  $(T, r, \rho)$  ist.

Lösung siehe Lösung 4.9.4.

Eine anschauliche Interpretation des Codes eines gepflanzten Baumes erhält man, wenn man den geschlossenen Weg betrachtet, der an der Wurzel mit der Kante nach links unten beginnt und dann außen um den Baum herumfährt. Jedesmal, wenn wir eine Kante abwärts fahren, schreiben wir eine öffnende Klammer, und eine schließende Klammer, wenn wir eine Kante aufwärts fahren. Schließlich machen wir um den ganzen Ausdruck noch ein Klammerpaar für die Wurzel.

Da wir nach Aufgabe 4.2.7 so den gepflanzten Baum (bis auf Isomorphie) aus  $C$  rekonstruieren können, haben nicht isomorphe gepflanzte Bäume verschiedene Codes. Umgekehrt bleibt der Code eines gepflanzten Baumes unter einem Isomorphismus offensichtlich invariant, also haben isomorphe gepflanzte Bäume den gleichen Code.

## 4.2.2 Isomorphismen von Wurzelbäumen

Wir übertragen diesen Code nun auf Wurzelbäume, indem wir die Vorschrift modifizieren. Zunächst erinnern wir an die lexikographische Ordnung aus Aufgabe 3.1.15. Durch „( $<$  ,)“ erhalten wir eine Totalordnung auf  $\{(,)\}$  und damit eine lexikographische Ordnung auf den Klammerstrings.

Dann ist ein Klammerstring  $A$  lexikographisch kleiner als ein anderer  $B$ , in Zeichen  $A \preceq B$ , wenn entweder  $A$  der Anfang von  $B$  ist oder die erste Klammer, in der die beiden Wörter sich unterscheiden, bei  $A$  öffnend und bei  $B$  schließend ist.

Z. B. ist  $(()) \preceq ()$ .

Die Wahl dieser Totalordnung ist hier willkürlich. Unser Algorithmus funktioniert mit jeder Totalordnung auf den Zeichenketten.

Wir definieren nun unseren Code auf Wurzelbäumen bottom-up wie folgt:

- Alle Blätter haben den Code  $()$ .
- Ist  $x$  ein Knoten mit Kindern, deren Codes bekannt sind, so sortiere die Kinder so zu  $y_1, \dots, y_k$ , dass für die zugehörigen Codes gilt

$$C_1 \preceq C_2 \preceq \dots \preceq C_k.$$

- $x$  erhält dann den Code  $(C_1 C_2 \dots C_k)$ .

Diese Vereinbarung definiert auf den Knoten eine Reihenfolge der Kinder, macht also auf eindeutige Weise aus einem Wurzelbaum einen gepflanzten Baum.

**4.2.8 Aufgabe.** Zeigen Sie: Isomorphe Wurzelbäume erhalten so den gleichen Code.

Lösung siehe Lösung 4.9.5.

### 4.2.3 Isomorphismen von Bäumen

Kommen wir nun zu den Bäumen. Wir versuchen zunächst von einem gegebenen Baum einen Knoten zu finden, der sich als Wurzel aufdrängt und unter Isomorphismen fix bleibt. Ein solcher Knoten soll in der Mitte des Baumes liegen. Das zugehörige Konzept ist auch auf allgemeinen Graphen sinnvoll.

**4.2.9 Definition.** Sei  $G = (V, E)$  ein Graph und  $v \in V$ . Als *Exzentrizität*  $ex_G(v)$  bezeichnen wir die Zahl

$$ex_G(v) = \max\{\text{dist}_G(v, w) \mid w \in V\}, \quad (4.1)$$

also den größten Abstand zu einem anderen Knoten.

Das *Zentrum*  $Z(G)$  ist die Menge der Knoten minimaler Exzentrizität

$$Z(G) = \{v \in V \mid ex_G(v) = \min\{ex_G(w) \mid w \in V\}\}. \quad (4.2)$$

Offensichtlich ist das Zentrum eines Graphen eine Isomorphieinvariante.

Ist das Zentrum unseres Baumes ein Knoten, so wählen wir diesen als Wurzel. Ansonsten nutzen wir aus:

**4.2.10 Lemma.** Sei  $T = (V, E)$  ein Baum. Dann ist  $|Z(T)| \leq 2$ . Ist  $Z(T) = \{x, y\}$  mit  $x \neq y$ , so ist  $(x, y) \in E$ .

**Beweis.** Wir beweisen dies mittels vollständiger Induktion über  $|V|$ . Die Aussage ist sicherlich richtig für Bäume mit einem oder zwei Knoten. Ist nun  $|V| \geq 3$ , so ist nach Satz 4.1.5 e)  $\sum_{v \in V} \deg(v) = 2|V| - 2 > |V|$ , also können nicht alle Knoten Blätter sein. Entfernen wir alle Blätter aus  $T$ , so erhalten wir einen nicht leeren Baum  $T'$  auf einer Knotenmenge  $V' \subset V$ , die echt kleiner geworden ist. In einem Graphen mit mindestens drei Knoten kann kein Blatt im Zentrum liegen, da die Exzentrizität seines Nachbarn um genau 1 kleiner ist. Also ist  $Z(T) \subseteq V'$ , und für alle Knoten in  $w \in V'$  gilt offensichtlich

$$ex_{T'}(w) = ex_T(w) - 1.$$

Folglich ist  $Z(T) = Z(T')$  und dieses hat nach Induktionsvoraussetzung höchstens zwei Elemente. Sind es genau zwei Elemente, so müssen diese, ebenfalls nach Induktionsvoraussetzung, adjazent sein.  $\square$

Besteht das Zentrum aus zwei Knoten  $x_1$  und  $x_2$ , so müssen wir uns für einen dieser beiden als Wurzelknoten entscheiden. Dies müssen wir wiederum so festlegen, dass das Vorgehen invariant unter einem Isomorphismus ist. Wir verwenden dafür wieder die lexikographische Ordnung. Zunächst entfernen wir die verbindende Kante  $(x_1, x_2)$ , bestimmen die Codes der in  $x_1$  bzw.  $x_2$  gewurzelten Teilbäume. Nun wählen als Wurzel von  $T$  den Knoten, dessen Teilbaum den lexikographisch kleineren Code hat. Sind die Codes gleich, wählen wir einen der beiden Knoten beliebig. Wir fassen zusammen:

- Ist  $Z(G) = \{v\}$ , so ist der Code von  $T$  der Code von  $(T, v)$ .
- Ist  $Z(G) = \{x_1, x_2\}$  mit  $x_1 \neq x_2$ , so sei  $e = (x_1, x_2)$ . Seien  $T_1, T_2$  die Komponenten von  $T \setminus e$  mit  $x_1 \in T_1$  und  $x_2 \in T_2$ . Sei  $C_i$  der Code des Wurzelbaumes  $(T_i, x_i)$  und die Nummerierung der Bäume so gewählt, dass  $C_1 \preceq C_2$ . Dann ist der Code von  $T$  der Code des Wurzelbaumes  $(T, x_1)$ .

**4.2.11 Satz.** Zwei Bäume haben genau dann den gleichen Code, wenn sie isomorph sind.

**Beweis.** Sind zwei Bäume nicht isomorph, so sind auch alle zugehörigen gepflanzten Bäume nicht isomorph, also die Codes nach Aufgabe 4.2.7 verschieden. Sei für die andere Implikation  $\varphi : V \rightarrow V'$  ein Isomorphismus von  $T = (V, E)$  nach



$T' = (V', E')$ . Seien  $r, r'$  die bei der Konstruktion der Codes ausgewählten Wurzeln von  $T$  bzw.  $T'$ . Ist  $\varphi(r) = r'$ , so sind die Wurzelbäume  $(T, r)$  und  $(T', r')$  isomorph und haben nach Aufgabe 4.2.8 den gleichen Code. Andernfalls besteht das Zentrum von  $T$  aus zwei Knoten  $r, s$  und  $\varphi(s) = r'$ . Dann ist aber der Code des in  $r'$  gewurzelten Teilbaumes  $(T'_1, r')$  von  $T' \setminus (\varphi(r), r')$  lexikographisch kleiner als der des in  $\varphi(r)$  gewurzelten Teilbaumes  $(T'_2, \varphi(r))$ . Letzterer ist aber isomorph zu dem in  $r$  gewurzelten Teilbaum  $(T_2, r)$  von  $T \setminus (r, s)$ , welcher also nach Aufgabe 4.2.8 den gleichen Code wie  $(T'_2, \varphi(r))$  hat. Da aber  $r$  als Wurzel ausgewählt wurde, ist dieser Code lexikographisch kleiner als der des in  $s$  gewurzelten Teilbaumes  $(T_1, s)$ . Dessen Code ist aber wiederum nach Aufgabe 4.2.8 gleich dem Code von  $(T'_1, r')$ . Also müssen alle diese Codes gleich sein. Somit sind  $(T_1, r)$  und  $(T_2, s)$  nach Aufgabe 4.2.8 isomorphe Wurzelbäume. Sei  $\psi(V_1, V_2) : V_1 \rightarrow V_2$  ein entsprechender Isomorphismus. Betrachten wir  $V = V_1 \cup V_2$  als  $(V_1, V_2)$  bzw.  $(V_2, V_1)$ , so vermittelt  $(\psi, \psi^{-1}) : (V_1, V_2) \rightarrow (V_2, V_1) = V$  einen Automorphismus von  $T$  und  $\varphi \circ \psi$  ist ein Isomorphismus von  $(T, r)$  nach  $(T, r')$ , also haben nach dem bereits Gezeigten  $T$  und  $T'$  denselben Code.  $\square$

**4.2.12 Aufgabe.** Berechnen Sie den Code des Baumes aus Abbildung 4.2. Lösung siehe Lösung 4.9.6.

## 4.3 Aufspannende Bäume

In diesem Abschnitt werden wir unter anderem den fehlenden Teil des Beweises, dass der BFS die Komponenten eines Graphen berechnet, nachholen. Die dort berechneten Teilgraphen spannen die Ausgangsgraphen auf. Solche minimalen aufspannenden Teilgraphen bezeichnet man manchmal auch als Gerüste. Aber erst noch mal zur Definition:

**4.3.1 Definition.** Ein kreisfreier Graph heißt *Wald*. Sei  $G = (V, E)$  ein Graph und  $T = (V, F)$  ein Teilgraph, bei dem die Zusammenhangskomponenten die gleichen Knotenmengen wie die Zusammenhangskomponenten von  $G$  haben. Dann sagen wir  $T$  ist *G aufspannend*. Ist  $T$  darüberhinaus kreisfrei, so heißt  $T$  ein *G aufspannender Wald* oder ein *Gerüst von G*. Ist  $G$  zusammenhängend und  $T$  ein Baum, so heißt  $T$  ein *G aufspannender Baum*.

Diese Definition ist offensichtlich auch für Multigraphen sinnvoll. Wir werden im Folgenden auch bei Multigraphen von aufspannenden Bäumen sprechen.

Wir analysieren nun zwei schnelle Algorithmen, die in einem zusammenhängenden Graphen einen aufspannenden Baum berechnen. Die im vorhergehenden Kapitel betrachteten Algorithmen BFS und DFS kann man als Spezialfälle des zweiten Verfahrens betrachten.

Die Methode `T.CreatingCycle(e)` überprüfe zu einer kreislosen Kantenmenge  $T$  mit  $e \notin T$ , ob  $T + e$  einen Kreis enthält, `T.AddEdge(e)` füge zu  $T$  die Kante  $e$  hinzu.

**4.3.2 Algorithmus.** Sei  $E$  eine (beliebig sortierte) Liste der Kanten des Graphen  $(V, E)$  und zu Anfang  $T = \emptyset$ .

```
for e in E:
    if not T.CreatingCycle(e):
        T.AddEdge(e)
```

**4.3.3 Lemma.** Algorithmus 4.3.2 berechnet einen  $G$  aufspannenden Wald.

**Beweis.** Zu Anfang enthält  $T$  gewiss keinen Kreis. Da nie eine Kante hinzugefügt wird, die einen Kreis schließt, berechnet der Algorithmus eine kreisfreie Menge, also einen Wald  $T$ . Wir haben zu zeigen, dass zwischen zwei Knoten  $u, v$  genau dann ein Weg in  $T$  existiert, wenn er in  $G$  existiert. Eine Implikation ist trivial: wenn es einen Weg in  $T$  gibt, so gab es den auch in  $G$ . Sei also  $u = v_0, v_1, \dots, v_k = v$  ein  $uv$ -Weg  $P$  in  $G$ . Angenommen  $u$  und  $v$  lägen in unterschiedlichen Komponenten von  $T$ . Sei dann  $v_i$  der letzte Knoten auf  $P$ , der in  $T$  in der gleichen Komponente wie  $u$  liegt. Dann ist  $e = (v_i, v_{i+1}) \in E \setminus T$ . Als  $e$  im Algorithmus abgearbeitet wurde, schloss  $e$  folglich mit  $T$  einen Kreis. Also gibt es in  $T$  einen Weg von  $v_i$  nach  $v_{i+1}$  im Widerspruch dazu, dass sie in verschiedenen Komponenten liegen.  $\square$

Betrachten wir die Komplexität des Algorithmus, so hängt diese von einer effizienten Implementierung des Kreistests ab. Eine triviale Implementierung dieser Subroutine in  $O(|V|)$  Zeit labelt ausgehend von einem Endknoten  $u$  von  $e = (u, v)$  alle Knoten, die in  $T$  von  $u$  aus erreichbar sind. Wird  $v$  gelabelt, so schließt  $e$  einen Kreis mit  $T$  und sonst nicht. Dies führt aber zu einer Gesamtlaufzeit von  $O(|V| \cdot |E|)$ . Um effizienter zu werden, müssen wir folgendes klassische Problem aus der Theorie der Datenstrukturen schneller lösen.

**4.3.4 Problem (UNION-FIND).** Sei  $V = \{1, \dots, n\}$  und eine initiale Partition in  $n$  triviale einelementige Klassen  $V = \{1\} \dot{\cup} \dots \dot{\cup} \{n\}$  gegeben. Wie sieht eine geeignete Datenstruktur aus, so dass man folgende Operationen effizient auf einer gegebenen Partition ausführen kann?

**UNION** Gegeben seien  $x, y$  aus verschiedenen Klassen, vereinige diese Klassen.

**FIND** Gegeben seien  $x, y \in V$ . Stelle fest, ob  $x$  und  $y$  in der gleichen Klasse liegen.

Was hat dieses Problem mit einer effizienten Implementierung von Algorithmus 4.3.2 zu tun? Zu jedem Zeitpunkt besteht  $T$  aus den Kanten eines Waldes. Die Knotenmengen seiner Zusammenhangskomponenten liefern die Klassen unserer Partition. Für den Kreistest genügt es dann zu prüfen, ob die Endknoten  $x, y$  der Kante  $(x, y)$  in der gleichen Klasse liegen. Ist dies nicht der Fall, so nehmen wir  $e$  in  $T$  auf und müssen die Klassen von  $x$  und  $y$  vereinigen.

Also benötigen wir für unseren Algorithmus zur Berechnung eines aufspannenden Waldes  $|E|$  FIND und höchstens  $|V| - 1$  UNION Operationen.

Wir stellen eine einfache Lösung dieses Problems vor. Jede Klasse hat eine Nummer, jeder Knoten die Nummer seiner Klasse. In einem Array speichern wir einen Zeiger auf die Klasse jedes Knotens, die als Liste organisiert ist. Die Klasse hat zusätzlich ein Feld, in dem die Anzahl der Elemente der Klasse eingetragen ist, bei einer nicht mehr existierenden Nummer ist der Eintrag 0. Für eine FIND-Operation benötigen wir dann nur einen Vergleich der Nummern der Klassen, also konstante Zeit. Bei einer UNION-Operation erbt die kleinere Komponente die Nummer der größeren, wir datieren die Nummern der Knoten in der kleineren Komponente auf und verschmelzen die Listen.

**4.3.5 Lemma.** *Die Kosten des Komponentenverschmelzens über den gesamten Lauf des Algorithmus betragen akkumuliert  $O(|V| \log |V|)$ .*

**Beweis.** Wir beweisen dies mit vollständiger Induktion über  $n = |V|$ . Für  $n = 1$  ist nichts zu zeigen. Verschmelzen wir zwei Komponenten  $T_1$  und  $T_2$  der Größe  $n_1 \leq n_2$  mit  $n = n_1 + n_2$ , dann ist  $n_1 \leq \frac{n}{2}$  und das Update kostet  $cn_1$ . Addieren wir dies zu den Kosten für das Verschmelzen der einzelnen Knoten zu  $T_1$  und  $T_2$ , die nach Induktionsvoraussetzung bekannt sind, erhalten wir

$$\begin{aligned} cn_1 + cn_1 \log_2 n_1 + cn_2 \log_2 n_2 &\leq cn_1 + cn_1 \log_2 \frac{n}{2} + cn_2 \log_2 n \\ &= cn_1 + cn_1 (\log_2 n - 1) + cn_2 \log_2 n \\ &= cn \log_2 n. \end{aligned}$$

□

**4.3.6 Bemerkung.** Die beste bekannte UNION-FIND Struktur geht auf R. Tarjan zurück [37]. Die Laufzeit ist dann beinahe linear. Man hat als Laufzeitkoeffizienten zusätzlich noch die so genannte *Inverse der Ackermann-Funktion*, eine Funktion, die zwar gegen Unendlich wächst, aber viel langsamer als  $\log n$ ,  $\log \log n$  etc. (siehe etwa [9]).

Unser zweiter Algorithmus sieht in etwa aus wie eine allgemeinere Version des Breadth-First-Search Algorithmus. Auf Grund dieser Allgemeinheit beschreiben wir ihn nur verbal.

**4.3.7 Algorithmus.** Sei  $v \in V$ .

- Setze  $V_0 = \{v\}$ ,  $T_0 = \emptyset$ ,  $i = 0$
- Solange es geht

Wähle eine Kante  $e = (x, y) \in E$  mit  $x \in V_i$ ,  $y \notin V_i$  und setze  
 $V_{i+1} = V_i \cup \{y\}$ ,  $T_{i+1} = T_i \cup \{e\}$ ,  $i = i + 1$ .

**4.3.8 Lemma.** Wenn Algorithmus 4.3.7 endet, dann ist  $T = T_i$  aufspannender Baum der Komponente von  $G$ , die  $v$  enthält.

**Beweis.** Die Kantenmenge  $T$  ist offensichtlich zusammenhängend und kreisfrei und verbindet alle Knoten in  $V_i$ . Nach Konstruktion gibt es keine Kante mehr, die einen Knoten aus  $V_i$  mit einem weiteren Knoten verbindet.  $\square$

Zwei Möglichkeiten, diesen Algorithmus zu implementieren, haben wir mit BFS und DFS kennen gelernt und damit an dieser Stelle deren Korrektheitsbeweise nachgeholt. Der zu BFS angegebene Algorithmus startet allerdings zusätzlich in jedem Knoten und überprüft, ob dieser in einer neuen Komponente liegt. Indem wir Lemma 4.3.8 in jeder Komponente anwenden, haben wir auch den fehlenden Teil des Beweises von Satz 3.7.1 nachgeholt.

## 4.4 Minimale aufspannende Bäume

Wir wollen nun ein einfaches Problem der „Kombinatorischen Optimierung“ kennen lernen. Die Kanten unseres Graphen sind zusätzlich mit Gewichten versehen. Sie können sich diese Gewichte als Längen oder Kosten der Kanten vorstellen.

Betrachten wir etwa das Problem, eine Menge von Knoten kostengünstig durch ein Netzwerk zu verbinden. Dabei sind zwei Knoten miteinander verbunden,

wenn es im Netzwerk einen Weg – eventuell mit Zwischenknoten – vom einen zum anderen Knoten gibt.

Uns sind die Kosten der Verbindung zweier Nachbarn im Netzwerk bekannt, und wir wollen jeden Knoten von jedem aus erreichbar machen und die Gesamtkosten minimieren.

Als abstraktes Problem erhalten wir dann das Folgende:

**4.4.1 Problem.** Sei  $G = (V, E)$  ein zusammenhängender Graph und  $w : E \rightarrow \mathbb{N}$  eine nichtnegative Kantengewichtsfunktion. Bestimme einen aufspannenden Teilgraphen  $T = (V, F)$ , so dass

$$w(F) := \sum_{e \in F} w(e) \quad (4.3)$$

minimal ist.

*4.4.2 Bemerkung.* Bei den Überlegungen zu Problem 4.4.1 macht es keinen wesentlichen Unterschied, ob die Gewichtsfunktion ganzzahlig oder reell ist. Da wir im Computer mit beschränkter Stellenzahl rechnen, können wir im praktischen Betrieb sowieso nur mit rationalen Gewichtsfunktionen umgehen. Multiplizieren wir diese mit dem Hauptnenner, ändern wir nichts am Verhältnis der Kosten, insbesondere bleiben Optimallösungen optimal. Also können wir in der Praxis o. E. bei Problem 4.4.1 stets von ganzzahligen Daten ausgehen.

Da die Gewichtsfunktion nicht-negativ ist, können wir, falls eine Lösung Kreise enthält, aus diesen so lange Kanten entfernen, bis die Lösung kreisfrei ist, ohne höhere Kosten zu verursachen. Also können wir uns auf folgendes Problem zurückziehen:

**4.4.3 Problem** (Minimaler aufspannender Baum (MST, von engl. Minimum Spanning Tree)). Sei  $G = (V, E)$  ein zusammenhängender Graph und  $w : E \rightarrow \mathbb{N}$  eine nichtnegative Kantengewichtsfunktion. Bestimme einen  $G$  aufspannenden Baum  $T = (V, F)$  minimalen Gewichts  $w(F)$ .

Der vollständige Graph  $K_n$  mit  $n$  Knoten hat  $n^{n-2}$  aufspannende Bäume, wie wir in Abschnitt 4.6 sehen werden. Eine vollständige Aufzählung ist also kein effizientes Verfahren. Ein solches gewinnen wir aber leicht aus Algorithmus 4.3.2. Der folgende Algorithmus heißt Greedy-Algorithmus (greedy ist englisch für gierig), weil er stets lokal den besten nächsten Schritt tut. Eine solche Strategie ist nicht immer zielführend, in diesem Falle aber schon, wie wir sehen werden. Der lokal beste

nächste Schritt ist hier die leichteste Kante, die mit dem bereits erzeugten Graphen keinen Kreis schließt. Also sortieren wir zunächst die Kanten nicht-absteigend und wenden dann Algorithmus 4.3.2 an.

**4.4.4 Algorithmus** (Greedy-Algorithmus (Kruskal)). *Sortiere die Kanten so, dass*

$$w(e_1) \leq w(e_2) \leq \dots \leq w(e_m)$$

*und führe Algorithmus 4.3.2 aus.*

**4.4.5 Satz.** *Der Greedy-Algorithmus berechnet einen minimalen aufspannenden Baum.*

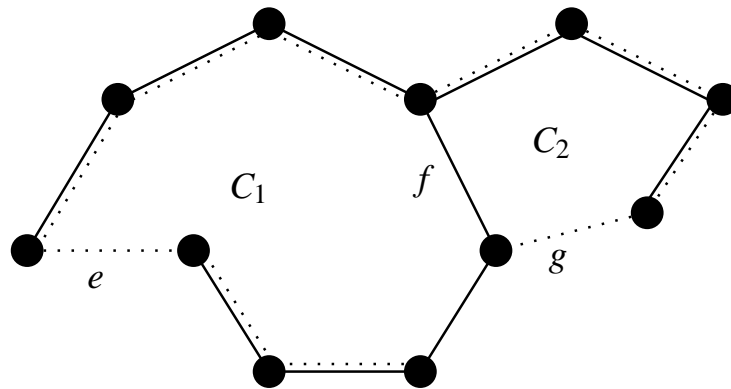


Abbildung 4.3: Zum Beweis von Satz 4.4.5. Kanten in  $\tilde{T}$  sind durchgezogen gezeichnet, die in  $T$  gestrichelt.

**Beweis.** Als spezielle Implementierung von Algorithmus 4.3.2 berechnet der Greedy-Algorithmus einen aufspannenden Baum  $T$ . Angenommen es gäbe einen aufspannenden Baum  $\tilde{T}$  mit  $w(\tilde{T}) < w(T)$ . Sei dann ein solches  $\tilde{T}$  so gewählt, dass  $|T \cap \tilde{T}|$  maximal ist. Sei  $e$  die Kante mit kleinstem Gewicht in  $T \setminus \tilde{T}$ . Dann schließt  $e$  in  $\tilde{T}$  nach Satz 4.1.5 einen Kreis  $C_1$  (siehe Abbildung 4.3). Nach Wahl von  $\tilde{T}$  muss nun

$$w(f) < w(e)$$

für alle  $f \in C_1 \setminus T$  sein, denn sonst könnte man durch Ersetzen eines solchen  $f$  mit  $w(f) \geq w(e)$  durch  $e$  einen Baum  $\hat{T} = (\tilde{T} \setminus f) + e$  konstruieren mit  $w(\hat{T}) \leq w(\tilde{T}) < w(T)$  und  $|T \cap \hat{T}| > |T \cap \tilde{T}|$ . Sei nun  $f \in C_1 \setminus T$ . Da  $f$  vom Greedy-Algorithmus verworfen wurde, schließt es mit  $T$  einen Kreis  $C_2$ . Da die Kanten nach aufsteigendem Gewicht sortiert wurden, gilt für alle  $g \in C_2$ :

$$w(g) \leq w(f).$$

Sei  $g \in C_2 \setminus \tilde{T}$ . Dann ist  $g \in T \setminus \tilde{T}$  und

$$w(g) \leq w(f) < w(e).$$

Also hat  $g$  ein kleineres Gewicht als  $e$  im Widerspruch zur Wahl von  $e$ . Folglich kann es ein solches  $\tilde{T}$  nicht geben und die Behauptung des Satzes ist bewiesen.  $\square$

**4.4.6 Aufgabe.** Sei  $G = (V, E)$  ein zusammenhängender Graph,  $w : E \rightarrow \mathbb{Z}$  eine Kantengewichtsfunktion und  $H = (V, T)$  ein  $G$  aufspannender Baum. Zeigen Sie:  $H$  ist genau dann ein minimaler  $G$  aufspannender Baum, wenn

$$\forall \bar{e} \in E \setminus T \quad \forall e \in C(T, \bar{e}) : w(e) \leq w(\bar{e}),$$

wenn also in dem nach Aufgabe 4.1.6 eindeutigen Fundamentalkreis  $C(T, \bar{e})$ , den  $\bar{e}$  mit  $T$  schließt, keine Kante ein größeres Gewicht als  $\bar{e}$  hat. Diese Bedingung ist als *Kreiskriterium* bekannt.

Lösung siehe Lösung 4.9.7.

*4.4.7 Bemerkung.* Man kann im Allgemeinen  $n$  Zahlen in  $O(n \log n)$  Zeit sortieren, und man kann zeigen, dass es schneller im Allgemeinen nicht möglich ist. Wir wollen im Folgenden diese Aussage ohne Beweis voraussetzen und benutzen (siehe etwa [23, 9]).

Also benötigen wir in Algorithmus 4.4.4 für das Sortieren der Kanten  $O(|E| \log(|E|))$ , und erhalten wegen

$$O(\log(|E|)) = O(\log(|V|^2)) = O(\log(|V|))$$

mit unserer Implementierung von UNION-FIND ein Verfahren der Komplexität  $O((|E| + |V|) \log(|V|))$ .

## 4.5 Die Algorithmen von Prim-Jarnik und Borůvka

Auch aus Algorithmus 4.3.7 können wir ein Verfahren ableiten, um minimale aufspannende Bäume zu berechnen. Dieser Algorithmus ist nach Robert C. Prim benannt, der ihn 1957 wiederentdeckte. Die erste Veröffentlichung dieses Verfahrens von Vojtech Jarnik war auf Tschechisch aus dem Jahre 1930.

**4.5.1 Algorithmus** (Prims Algorithmus). Sei  $v \in V$ .

- Setze  $V_0 = \{v\}$ ,  $T_0 = \emptyset$ ,  $i = 0$

- *Solange es geht*
  - Wähle eine Kante  $e = (x, y) \in E$  mit  $x \in V_i$ ,  $y \notin V_i$  von minimalem Gewicht und setze  $V_{i+1} = V_i \cup \{y\}$ ,  $T_{i+1} = T_i \cup \{e\}$ ,  $i = i + 1$ .

Bevor wir diskutieren, wie wir effizient die Kante minimalen Gewichts finden, zeigen wir zunächst einmal die Korrektheit des Verfahrens.

**4.5.2 Satz.** *Prims Algorithmus berechnet einen minimalen aufspannenden Baum.*

**Beweis.** Als Spezialfall von Algorithmus 4.3.7 berechnet Prims Algorithmus einen aufspannenden Baum. Im Verlauf des Algorithmus haben wir auch stets einen Baum, der  $v$  enthält. Dieser erhält in jeder Iteration eine neue Kante. Wir zeigen nun mittels Induktion über die Anzahl der Iterationen:

Zu jedem Zeitpunkt des Algorithmus ist  $T_i$  in einem minimalen aufspannenden Baum enthalten.

Diese Aussage ist sicherlich zu Anfang für  $T_0 = \emptyset$  wahr. Sei nun soeben die Kante  $e$  zu  $T_i$  hinzugekommen. Nach Induktionsvoraussetzung ist  $T_i \setminus e$  in einem minimalen aufspannenden Baum  $\hat{T}$  enthalten. Wenn dieser  $e$  enthält, so sind wir fertig. Andernfalls schließt  $e$  einen Kreis mit  $\hat{T}$ . Dieser enthält neben  $e$  mindestens eine weitere Kante  $f$ , die die Knotenmenge von  $T_i \setminus e$  mit dem Komplement dieser Knotenmenge verbindet. Nach Wahl von  $e$  ist

$$w(e) \leq w(f)$$

und nach Aufgabe 4.1.6 ist  $(\hat{T} + e) \setminus \{f\}$  ein aufspannender Baum und

$$w((\hat{T} + e) \setminus \{f\}) = w(\hat{T}) + w(e) - w(f) \leq w(\hat{T}).$$

Da  $\hat{T}$  ein minimaler aufspannender Baum war, schließen wir  $w(e) = w(f)$  und somit ist  $(\hat{T} + e) \setminus \{f\}$  ein minimaler aufspannender Baum, der  $T_i$  enthält.  $\square$

**4.5.3 Aufgabe.** Sei  $G = (V, E)$  ein zusammenhängender Graph. Ist  $S \subseteq V$ , so nennen wir die Kantenmenge

$$\partial_G(S) := \{e \in E \mid |e \cap S| = 1\}$$

den von  $S$  induzierten Schnitt. Allgemein nennen wir eine Kantenmenge  $D$  einen Schnitt in  $G$ , wenn es ein  $S \subseteq V$  gibt mit  $D = \partial_G(S)$ . Sei nun ferner  $w : E \rightarrow \mathbb{Z}$  eine Kantengewichtsfunktion und  $H = (V, T)$  ein  $G$  aufspannender Baum. Zeigen Sie:



a) Für alle  $e \in T$  ist die Menge

$$D(T, e) := \{\bar{e} \in E \mid (T \setminus e) + \bar{e} \text{ ist ein Baum}\}$$

ein Schnitt in  $G$ .

b)  $H$  ist genau dann ein minimaler  $G$  aufspannender Baum, wenn

$$\forall e \in T \forall \bar{e} \in D(T, e) : w(e) \leq w(\bar{e}),$$

wenn also  $e$  eine Kante mit kleinstem Gewicht ist, die die Komponenten von  $T \setminus e$  miteinander verbindet. Diese Bedingung ist als *Schnittkriterium* bekannt.

Lösung siehe Lösung 4.9.8.

Kommen wir zur Diskussion der Implementierung von Prim's Algorithmus. Sicherlich wollen wir nicht in jedem Schritt alle Kanten überprüfen, die aus  $T$  herausführen. Statt dessen merken wir uns stets die kürzeste Verbindung aus  $T$  zu allen Knoten außerhalb von  $T$  in einer Kantenmenge  $F$ . Zu dieser Kantenmenge haben wir als neue Methode  $F.MinimumEdge(weight)$ , die aus  $F$  eine Kante minimalen Gewichts liefert. Wenn wir diese Datenstruktur aufdatieren, müssen wir nur alle Kanten, die aus dem neuen Baumknoten herausführen, daraufhin überprüfen, ob sie eine kürzere Verbindung zu ihrem anderen Endknoten aus  $T$  heraus herstellen. Wir erhalten also folgenden Code:

```

T=[]
F=[]
for w in G.Neighborhood(v):
    F.AddEdge((v,w))
    pred[w] = v
while not T.IsSpanning():
    (u,v) = F.MinimumEdge(weight)
    F.DeleteEdge((u,v))
    T.AddEdge((u,v))
    for w in G.Neighborhood(v):
        if not T.Contains(w) and weight[(pred[w],w)] > weight[(w,v)]:
            F.DeleteEdge((pred[w],w))
            F.AddEdge((v,w))
            pred[w] = v

```

Dabei gehen wir davon aus, dass vor Ausführung des Algorithmus die Felder  $\text{pred}$  für alle Knoten mit  $\text{pred}[v]=v$  und  $\text{weight}[(v,v)]$  mit unendlich initialisiert worden sind. Die Kanten fassen wir hier als gerichtet auf, dass heißt in  $(u,v) = F.\text{MinimumEdge}(\text{weight})$  ist  $u$  ein Knoten innerhalb des Baumes und  $v$  ein Knoten auf der „anderen“ Seite.

Auf diese Weise wird jede Kante in genau einer der beiden **for**-Schleifen genau einmal untersucht. Die Kosten für das Aufdatieren von  $F$  sind also  $O(|E|)$ . Die **while**-Schleife wird nach Satz 4.1.5 genau  $(|V| - 1)$ -mal durchlaufen. Für die Laufzeit bleibt die Komplexität von  $F.\text{minimumEdge}(\text{weight})$  zu betrachten. Hier wird aus einer Menge von  $O(|V|)$  Kanten das Minimum bestimmt. Man kann nun die Daten, etwa in einer so genannten *Priority Queue* so organisieren, dass  $|F|$  stets geordnet ist. Das Einfügen einer Kante in  $F$  kostet dann  $O(\log |F|)$  und das Löschen und Finden des Minimums benötigt ebenso  $O(\log |F|)$ . Für Details verweisen wir auf [9]. Als Gesamtlaufzeit erhalten wir damit

$$O(|E| \log |V|).$$

**4.5.4 Aufgabe.** Zeigen Sie: In jeder Implementierung ist die Laufzeit von Prim's Algorithmus von unten durch  $\Omega(|V| \log |V|)$  beschränkt. Weisen Sie dazu nach, dass man mit Prim's Algorithmus  $|V|$  Zahlen sortieren kann.

Lösung siehe Lösung 4.9.9.

Als letztes stellen wir das älteste Verfahren vor, das schon 1926 von Otakar Borůvka, ebenfalls auf Tschechisch, publiziert wurde. Dazu zunächst noch eine vorbereitende Übungsaufgabe.

**4.5.5 Aufgabe.** Sei  $G = (V, E)$  ein zusammenhängender Graph und  $w : E \rightarrow \mathbb{Z}$  eine Kantengewichtsfunktion. Zeigen Sie:

- a) Ist  $T$  ein minimaler  $G$  aufspannender Baum und  $S \subseteq E(T)$ , so ist  $E(T) \setminus S$  die Kantenmenge eines minimalen aufspannenden Baumes von  $G/S$  (vgl. Definition 3.12.2).
- b) Ist darüber hinaus  $w$  injektiv, sind also alle Kantengewichte verschieden, so ist die Menge  $S$  der Kanten, die aus den (eindeutigen) Kanten kleinsten Gewichts an jedem Knoten besteht, in dem eindeutigen minimalen aufspannenden Baum enthalten.

Lösung siehe Lösung 4.9.10.

Der Algorithmus von Borůvka verfährt nun wie folgt. Wir gehen zunächst davon aus, dass  $G = (V, E)$  ein Multigraph mit einer injektiven Gewichtsfunktion ist.

**4.5.6 Algorithmus** (Borůvkas Algorithmus). Setze  $T = \emptyset$ .

- Solange  $G$  noch mehr als einen Knoten hat:

*Jeder Knoten markiert die Kante minimalen Gewichts, die zu ihm adjazent und keine Schleife ist.*

*Füge alle markierten Kanten  $S$  zu  $T$  hinzu und setze  $G = G/S$ .*

Hierbei interpretieren wir die Kanten in  $T$  am Ende als Kanten des ursprünglichen Graphen  $G$ .

**4.5.7 Satz.** *Borůvkas Algorithmus berechnet den eindeutigen minimalen aufspannenden Baum von  $G$ .*

**Beweis.** Wir zeigen per Induktion über die Anzahl der Iterationen, dass  $T$  in jedem minimalen aufspannenden Baum enthalten ist. Solange  $T$  leer ist, ist dies gewiss richtig. Sei also  $T$  in jedem minimalen aufspannenden Baum enthalten und  $S$  wie beschrieben. Nach Aufgabe 4.5.5 b) ist  $S$  in dem eindeutigen aufspannenden Baum  $\tilde{T}$  von  $G/T$  enthalten. Sei nun  $\hat{T}$  ein minimaler aufspannender Baum von  $G$ , also  $T \subseteq \hat{T}$ . Nach Aufgabe 4.5.5 a) ist  $\hat{T} \setminus T$  ein minimaler aufspannender Baum von  $G/T$ . Wir schließen  $\hat{T} \setminus T = \tilde{T}$ . Insgesamt erhalten wir wie gewünscht  $S \cup T \subseteq \tilde{T}$ .

Da in jedem Schritt die Anzahl der Knoten mindestens halbiert wird, berechnet man in höchstens  $\log_2 |V|$  Schritten eine Kantenmenge  $T$ , die ein aufspannender Baum ist und in jedem minimalen aufspannenden Baum enthalten ist. Also ist dieser Baum eindeutig.  $\square$

**4.5.8 Bemerkung.** Die Bedingung, dass  $w$  injektiv ist, ist keine wirkliche Einschränkung. Wird ein Kantengewicht mehrfach angenommen, so kann man z. B. die Nummer der Kante dazu benutzen, in der Ordnung auf den Kantengewichten überall eine „echte Ungleichung“ zu haben, was das Einzige ist, was in Aufgabe 4.5.5 b) benutzt wurde.

Wie wir oben bereits bemerkt hatten, wird in jeder Iteration die Anzahl der Knoten mindestens halbiert, also haben wir höchstens  $\log_2(|V|)$  Iterationen. Für die Kontraktion müssen wir bei  $O(|E|)$  Kanten die Endknoten aufdatieren und erhalten (wenn wir davon ausgehen, dass  $|V| = O(|E|)$  ist) als Gesamtlaufzeit

$$O(|E| \log |V|).$$

**4.5.9 Beispiel.** Wir betrachten die geometrische Instanz in Abbildung 4.4 mit 13 Knoten. Darauf betrachten wir den vollständigen Graphen, wobei die Kantengewichte durch die Entfernung in der Zeichnung gegeben seien. In der linken Grafik haben wir einige Kanten eingezeichnet. Diejenigen, die wir weggelassen haben sind so lang, dass sie für einen minimalen aufspannenden Baum auch nicht in Frage kommen.

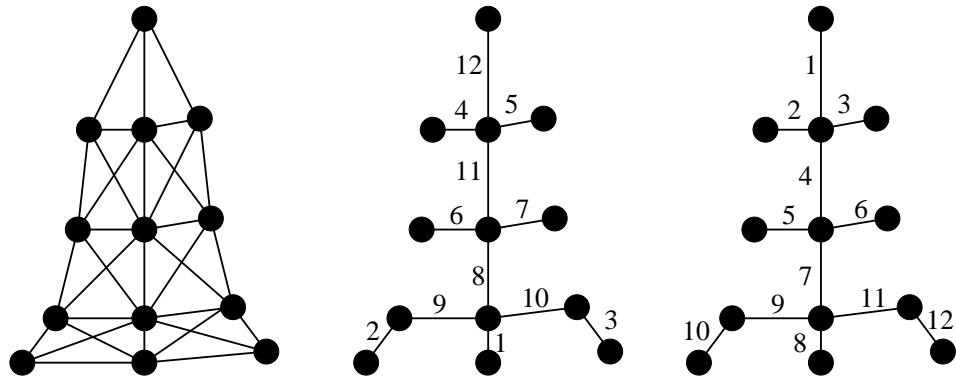


Abbildung 4.4: Kruskal und Prim

In der mittleren Figur haben wir die Kanten in der Reihenfolge nummeriert, in der sie der Greedy-Algorithmus in den minimalen aufspannenden Baum aufnimmt. Dabei ist die Reihenfolge der zweiten, dritten und vierten sowie der achten und neunten vertauschbar, da diese alle jeweils die gleiche Länge haben. Wir gehen im Folgenden davon aus, dass die früher gewählten Kanten eine kleinere Nummer haben.

Die Nummerierung im Baum ganz rechts entspricht der Reihenfolge, in der

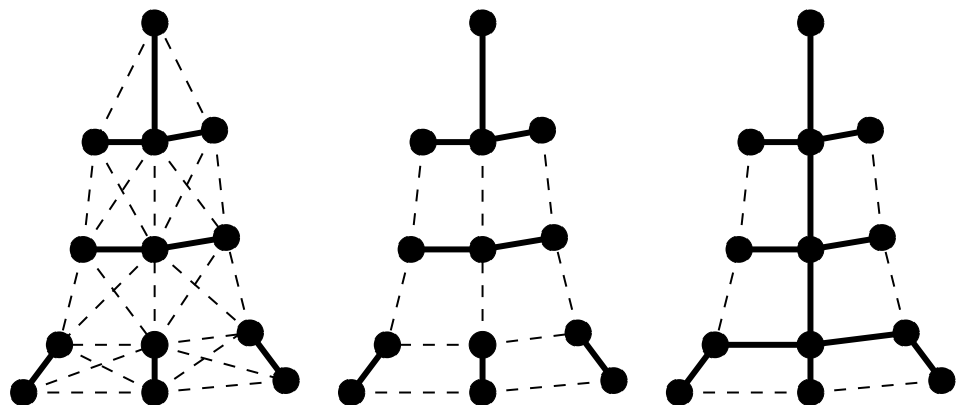


Abbildung 4.5: Borůvka

Prim's Algorithmus die Kanten in den Baum aufnimmt, wenn er im obersten Knoten startet. Hier ist die Reihenfolge eindeutig.

In Abbildung 4.5 haben wir den Verlauf des Algorithmus von Borůvka angedeutet. Es kommt hier nicht zum Tragen, dass die Kantengewichtsfunktion nicht injektiv ist. In der ersten Iteration sind die markierten Kanten, die fett gezeichneten Kanten in den ersten beiden Bäumen. Im mittleren Baum haben wir Kanten eliminiert, die nach der Kontraktion entweder Schleifen oder parallel zu kürzeren Kanten sind. Im Baum rechts erkennt man, dass der Algorithmus bereits nach der zweiten Iteration den minimalen aufspannenden Baum gefunden hat.

**4.5.10 Aufgabe.** Sei  $V = \{1, 2, \dots, 30\}$  und  $G = (V, E)$  definiert durch

$$e = (i, j) \in E \iff (i \mid j \text{ oder } j \mid i) \text{ und } i \neq j$$

der Teilbarkeitsgraph. Die Gewichtsfunktion  $w$  sei gegeben durch den ganzzahligen Quotienten  $\frac{j}{i}$  bzw.  $\frac{i}{j}$ .

Geben Sie die Kantenmengen und die Reihenfolge ihrer Berechnung an, die die Algorithmen von Kruskal, Prim und Borůvka berechnen. Bei gleichen Kantengewichten sei die mit den kleineren Knotennummern die Kleinere.

Lösung siehe Lösung 4.9.11.

## 4.6 Die Anzahl aufspannender Bäume

Wir hatten zu Anfang unserer Überlegungen zu minimalen aufspannenden Bäumen angekündigt nachzuweisen, dass der  $K_n$   $n^{n-2}$  aufspannende Bäume hat. Etwa da Kanten unterschiedliche Gewichte haben können, möchten wir manchmal isomorphe Bäume mit unterschiedlichen Kantenmengen unterscheiden können. Dazu betrachten wir isomorphe, aber nicht identische Bäume als verschieden, wir nennen diese *knotengelabelte Bäume*.

Die Formel wurde 1889 von Cayley entdeckt und ist deswegen auch unter dem Namen Cayley-Formel bekannt. Der folgende Beweis ist allerdings 110 Jahre jünger, er wurde erst 1999 von Jim Pitman publiziert [30] und benutzt die *Methode des doppelten Abzählens*. Dieser Beweis ist so klar und schön, dass es schon erstaunlich ist, wie spät er gefunden worden ist. In [28] finden Sie neben diesem vier weitere Beweise der Cayley-Formel.

Wie gehen wir nun vor? Anstatt knotengelabelte Bäume zu zählen, zählen wir knoten- und kantengelabelte Wurzelbäume. Darunter verstehen wir einen

Wurzelbaum zusammen mit einer Nummerierung seiner Kanten mit Werten in  $\{1, \dots, n-1\}$ . Da es  $(n-1)!$  Möglichkeiten gibt, die Kanten eines Baumes zu nummerieren und weitere  $n$  Möglichkeiten gibt, die Wurzel auszuwählen, entspricht ein knoten- und kantengelabelter Baum insgesamt  $n!$  knoten- und kantengelabelten Wurzelbäumen. Dies halten wir fest:

**4.6.1 Proposition.** *Jeder knoten- und kantengelabelte Baum mit  $n$  Knoten gibt Anlass zu genau  $n!$  knoten- und kantengelabelten Wurzelbäumen.*

Wir zählen nun die knoten- und kantengelabelten Wurzelbäume, indem wir die Nummerierung der Kanten als dynamischen Prozess interpretieren. Im ersten Schritt haben wir  $n$  isolierte Knoten. Diese interpretieren wir als  $n$  (triviale) Wurzelbäume und fügen eine gerichtete Kante hinzu, so dass daraus  $n-1$  Wurzelbäume entstehen. Im  $k$ -ten Schritt haben wir  $n-k+1$  Wurzelbäume und fügen die  $k$ -te gerichtete Kante hinzu (siehe Abbildung 4.6). Diese Kante darf von einem beliebigen Knoten in einem der Wurzelbäume ausgehen. Wir haben hierfür also  $n$  Wahlmöglichkeiten. Sie darf aber wegen Aufgabe 4.2.2 nur in der Wurzel eines der  $n-k$  übrigen Wurzelbäume enden, also gibt es dafür  $n-k$  Wahlmöglichkeiten. Dies fassen wir im folgenden Lemma zusammen.

**4.6.2 Lemma.** *Es gibt genau  $n!n^{n-2}$  knoten- und kantengelabelte Wurzelbäume mit  $n$  Knoten.*

**Beweis.** Die eben beschriebenen Wahlmöglichkeiten waren alle unabhängig voneinander. Also erhalten wir die Anzahl der knoten- und kantengelabelten Wurzelbäume als

$$\prod_{k=1}^{n-1} n(n-k) = n^{n-1} (n-1)! = n^{n-2} n!.$$

□

Fassen wir Proposition 4.6.1 und Lemma 4.6.2 zusammen, so erhalten wir:

**4.6.3 Satz (Cayley-Formel).** *Die Anzahl der knoten- und kantengelabelten Bäume mit  $n$  Knoten ist  $n^{n-2}$ .*

□

**4.6.4 Aufgabe.** Sei  $G = K_n$  der vollständige Graph mit  $n$  Knoten und  $e$  eine feste Kante. Zeigen Sie: Die Anzahl der knoten- und kantengelabelten Bäume von  $G$ , die die Kante  $e$  enthalten, ist  $2n^{n-3}$ .

Lösung siehe Lösung 4.9.12.

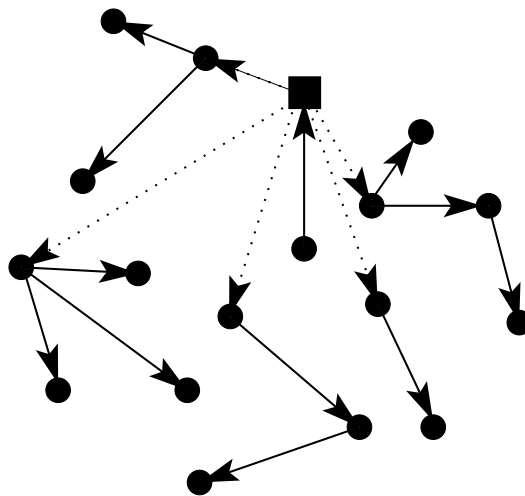


Abbildung 4.6: Wenn man den quadratischen Knoten als Startknoten für die dreizehnte Kante auswählt, hat man  $5 = 18 - 13 = 6 - 1$  Möglichkeiten, einen Endknoten auszusuchen, die wir durch die gepunkteten Kanten angedeutet haben.

## 4.7 Bipartites Matching

Wir betrachten nun Zuordnungsprobleme. Der Einfachheit halber betrachten wir nur Aufgabenstellungen, bei denen Elementen aus einer Menge  $U$  jeweils ein Element aus einer Menge  $V$  unter gewissen Einschränkungen zugeordnet werden soll.

**4.7.1 Beispiel.** a) In einer geschlossenen Gesellschaft gibt es  $m$  heiratsfähige Männer und  $n$  heiratsfähige Frauen. Die Frauen haben jeweils eine Liste der akzeptablen Partner. Verheirate möglichst viele Paare unter Beachtung der Akzeptanz und des Bigamieverbots.

b) An einer Universität bewerben sich Studenten für verschiedene Studiengänge, wobei die Individuen sich für mehrere Studiengänge bewerben. Die Anzahl der Studienplätze in jedem Fach ist begrenzt. Finde eine Zuordnung der Studenten zu den Studiengängen, so dass die Wünsche der Studenten berücksichtigt werden und möglichst viele Studienplätze gefüllt werden.

In beiden Situationen haben wir es mit einem bipartiten Graphen zu tun, der im ersten Fall die Neigungen der Damen und im zweiten die Wünsche der Studenten modelliert:

**4.7.2 Definition.** Sei  $G = (W, E)$  ein Graph. Dann heißt  $G$  *bipartit*, wenn es eine Partition  $W = U \dot{\cup} V$  gibt, so dass alle Kanten je einen Endknoten in beiden Klassen haben. Wir nennen dann  $U$  und  $V$  die *Farbklassen* von  $G$ .

Sie haben in Beispiel 3.2.3 bereits die vollständigen bipartiten Graphen  $K_{m,n}$  kennen gelernt. Allgemeine bipartite Graphen lassen sich aber auch sehr leicht charakterisieren.

**4.7.3 Proposition.** *Ein Graph  $G = (W, E)$  ist bipartit genau dann, wenn er keinen Kreis ungerader Länge hat.*

**Beweis.** Ist  $G$  bipartit, so müssen die Knoten jedes Kreises abwechselnd in  $U$  und in  $V$  liegen. Da der Kreis geschlossen ist, muss er also gerade Länge haben.

Sei nun  $G$  ein Graph, in dem alle Kreise gerade Länge haben. Ohne Beschränkung der Allgemeinheit nehmen wir an, dass  $G$  zusammenhängend ist. Ansonsten machen wir das Folgende in jeder Komponente. Sei  $v \in W$ . Wir behaupten zunächst, dass für alle  $w \in W$  jeder  $vw$ -Weg entweder stets gerade oder stets ungerade Länge hat. Denn angenommen  $P$  wäre die Kantenmenge eines  $vw$ -Weges der Länge  $2k$  und  $Q$  die eines  $vw$ -Weges der Länge  $2k' + 1$ . Dann ist die *symmetrische Differenz*

$$P\Delta Q := (P \cup Q) \setminus (P \cap Q)$$

eine Menge mit ungerade vielen Elementen, denn

$$|P\Delta Q| = |P| + |Q| - 2|P \cap Q| = 2(k + k' - |P \cap Q|) + 1.$$

Wir untersuchen nun, welche Knotengrade in dem von  $P\Delta Q$  gebildeten Teilgraphen von  $G$  auftreten können. Sowohl in  $P$  als auch in  $Q$  haben  $v$  und  $w$  jeweils den Knotengrad 1 und alle anderen Knoten entweder Knotengrad 0 oder Knotengrad 2. Also haben in  $P\Delta Q$  alle Knoten den Knotengrad 0, 2 oder 4, insbesondere ist jede Komponente von  $H = (W, P\Delta Q)$  eulersch und somit nach Satz 3.10.2 kantendisjunkte Vereinigung von Kreisen. Da die Gesamtzahl der Kanten in  $P\Delta Q$  aber ungerade ist, muss unter diesen Kreisen mindestens einer ungerader Länge sein im Widerspruch zur Voraussetzung. Also hat für alle  $w \in W$  jeder  $vw$ -Weg entweder stets gerade oder stets ungerade Länge.

Seien nun  $U \subseteq W$  die Knoten  $u$ , für die alle  $uv$ -Wege ungerade Länge haben und  $V$  die Knoten mit gerader Distanz von  $v$ . Angenommen, es gäbe eine Kante  $e$  zwischen zwei Knoten  $u_1, u_2$  in  $U$ . Ist dann  $P$  ein  $vu_1$  Weg, so ist  $P\Delta(u_1, u_2)$  ein  $vu_2$ -Weg gerader Länge im Widerspruch zum Gezeigten. Analog gibt es auch keine Kanten zwischen Knoten in  $V$ . Also ist  $G$  bipartit.  $\square$

Die Zuordnungsvorschriften in Beispiel 4.7.1 kann man auch für beliebige Graphen definieren.



**4.7.4 Definition.** Sei  $G = (V, E)$  ein Graph. Eine Kantenmenge  $M \subseteq E$  heißt ein *Matching* in  $G$ , falls für den Graphen  $G_M = (V, M)$  gilt

$$\forall v \in V : \deg_{G_M}(v) \leq 1. \quad (4.4)$$

Wir sagen  $u$  ist mit  $v$  *gematched*, wenn  $(u, v) \in M$ , und nennen einen Knoten *gematched*, wenn er mit einer Matchingkante inzident ist, und ansonsten *ungematched*.

Gilt in (4.4) stets Gleichheit, so nennen wir das Matching *perfekt*. Wir bezeichnen (4.4) auch als *Bigamieverbot*.

Bei der Bestimmung von Matchings mit maximal vielen Kanten ist nun die Greedy-Strategie, die bei aufspannenden Bäumen so erfolgreich war, kein probates Mittel. Betrachten wir etwa den Graphen in Abbildung 4.7 mit der fett gezeichneten Kante als Matching, so kann man zu dieser Kante keine weitere Kante hinzunehmen, ohne das Bigamieverbot zu verletzen.

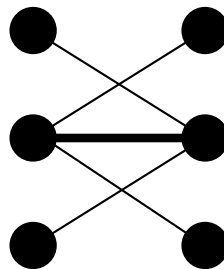


Abbildung 4.7: Ein inklusionsmaximales Matching

Hingegen gibt es offensichtlich Matchings mit zwei Kanten. Um eine intelligentere Strategie zu entwickeln, betrachten wir den Unterschied zwischen einem Matching und einem Matching mit einer Kante mehr.

Seien also  $M, M'$  Matchings in  $G = (V, E)$  und  $|M'| > |M|$ . Wiederum analysieren wir die Knotengrade in  $(V, M \Delta M')$ . Da die Knotengrade in  $M$  wie in  $M'$  nur 0 und 1 sind, kommen als Knotengrade in  $(V, M \Delta M')$  nur 0, 1 und 2 in Frage. Also besteht  $(V, M \Delta M')$  aus isolierten Knoten, Pfaden und Kreisen. In den Kreisen müssen sich aber stets Kanten aus  $M$  mit Kanten aus  $M'$  abwechseln, also müssen diese immer gerade Länge haben. Da aber  $M'$  mehr Elemente als  $M$  hat, muss es unter den Wegen einen geben, der mehr Kanten in  $M'$  als in  $M$  hat. Auch umgekehrt kann man aus einem solchen Weg stets ein größeres Matching konstruieren. Dafür führen wir zunächst einmal den Begriff des augmentierenden Weges ein:

**4.7.5 Definition.** Sei  $G = (V, E)$  ein (nicht notwendig bipartiter) Graph und  $M \subseteq E$  ein Matching. Ein Weg  $P = v_0 v_1 v_2 \dots v_k$  heißt  $M$ -alternierend, wenn seine Kanten abwechselnd in  $M$  und außerhalb von  $M$  liegen. Der Weg  $P$  ist  $M$ -augmentierend, wenn darüber hinaus die beiden Randknoten  $v_0$  und  $v_k$  ungematched sind. Insbesondere ist dann  $k$  ungerade und  $v_i v_{i+1} \in M$  genau dann, wenn  $1 \leq i \leq k-2$  und  $i$  ungerade.

**4.7.6 Satz.** Sei  $G = (V, E)$  ein (nicht notwendig bipartiter) Graph und  $M \subseteq E$  ein Matching. Dann ist  $M$  genau dann von maximaler Kardinalität, wenn es keinen  $M$ -augmentierenden Weg in  $G$  gibt.

**Beweis.** Wir zeigen die Kontraposition dieses Satzes, also, dass  $M$  genau dann nicht maximal ist, wenn es einen  $M$ -augmentierenden Weg gibt.

Wir haben vor der letzten Definition bereits gezeigt, dass, wenn  $M'$  ein Matching von  $G$  mit  $|M'| > |M|$  ist,  $M' \Delta M$  einen  $M$ -augmentierenden Weg enthält.

Sei also nun umgekehrt  $P$  ein  $M$ -augmentierender Weg in  $G$ . Wir untersuchen die Kantenmenge  $M' := M \Delta P$ . Diese Operation vertauscht Matching- und Nichtmatchingkanten entlang  $P$ . Da Anfangs- und Endknoten von  $P$  ungematched und verschieden sind, aber  $P$  ansonsten zwischen Matching- und Nichtmatchingkanten alterniert, hat  $H = (V, M')$  überall Knotengrad 0 oder 1, also ist  $M'$  ein Matching und enthält eine Kante mehr als  $M$ .  $\square$

Wir haben nun das Problem, ein maximales Matching zu finden, auf das Bestimmen eines augmentierenden Weges reduziert. Wie findet man nun einen augmentierenden Weg? In allgemeinen Graphen wurde dieses Problem erst 1965 von Jack Edmonds gelöst. Wir wollen darauf hier nicht näher eingehen, sondern nur auf den amüsanten, historisierenden Artikel [13] verweisen. In bipartiten Graphen ist die Lage viel einfacher, da ein  $M$ -augmentierender Weg stets die Endknoten in unterschiedlichen Farbklassen haben muss:

**4.7.7 Proposition.** Sei  $G = (U \cup V, E)$  ein bipartiter Graph,  $M$  ein Matching in  $G$  und  $P = v_0 v_1 v_2 \dots v_k$  ein  $M$ -augmentierender Weg in  $G$ . Dann gilt

$$v_0 \in U \Leftrightarrow v_k \in V.$$

**Beweis.** Wie oben bemerkt, ist  $k$  ungerade. Ist  $v_0 \in U$ , so ist  $v_1 \in V$  und induktiv schließen wir, dass alle Knoten mit geradem Index in  $U$  und alle mit ungeradem Index in  $V$  liegen. Insbesondere gilt letzteres für  $v_k$ . Analog impliziert  $v_0 \in V$  auch  $v_k \in U$ .  $\square$

Wenn wir also alle Kanten, die nicht in  $M$  liegen, von  $U$  nach  $V$  richten, und alle Kanten in  $M$  von  $V$  nach  $U$ , so wird aus  $P$  ein gerichteter Weg von einem ungematchten Knoten in  $U$  zu einem ungematchten Knoten in  $V$ . Da  $P$  beliebig war, ist dies unser Mittel der Wahl. Das Schöne an dem folgenden Verfahren ist, dass es, wenn es keinen augmentierenden Weg findet, einen „Beweis“ dafür liefert, dass es einen solchen auch nicht geben kann.

**4.7.8 Algorithmus** (Find-Augmenting-Path). *Input des Algorithmus ist ein bipartiter Graph  $G = (U \cup V, E)$  und ein Matching  $M \subseteq E$ . Output ist entweder ein Endknoten eines  $M$ -augmentierenden Weges oder ein „Zertifikat“  $C$  für die Maximalität von  $M$ . In der Queue  $Q$  merken wir uns die noch zu bearbeitenden Knoten. Wir gehen davon aus, dass in einer Initialisierung alle Zeiger des Vorgängerfeldes  $\text{pred}$  mit  $\text{None}$  initialisiert worden sind und  $C$  die leere Liste ist. Bei Rückgabe eines Endknotens, kann man aus diesem durch Rückverfolgen der Vorgänger den augmentierenden Weg konstruieren.*

```

for u in U:
    if not M.IsMatched(u):
        Q.Append(u)
        pred[u]=u
while not Q.IsEmpty():
    u=Q.Top()
    for v in G.Neighborhood(u):
        if pred[v]==None:
            pred[v]=u
            if not M.IsMatched(v):
                return v
            else:
                s=M.Partner(v)
                Q.Append(s)
                pred[s]=v
for u in U:
    if pred[u]==None:
        C.Append(u)
for v in V:
    if pred[v]!=None:
        C.Append(v)

```

Zunächst initialisieren wir  $Q$  mit allen ungematchten Knoten  $u$  in  $U$ . Dann untersuchen wir deren Nachbarn  $v$  und setzen  $u$  als ihren Vorgänger ein. Finden wir darunter ein ungematchtes  $v$ , so wurde schon ein augmentierender Weg gefunden. Ansonsten sei  $s$  sein Matchingpartner. Der Knoten  $s$  kann bisher noch nicht bearbeitet worden sein, wir hängen ihn an die Warteschlange und setzen seinen Vorgänger auf  $v$ . So fahren wir fort, bis wir entweder einen ungematchten Knoten in  $V$  finden oder die Schlange  $Q$  leer ist.

Findet das Verfahren keinen augmentierenden Weg mehr, so sammeln wir in  $C$  den „Beweis“ der Maximalität des Matchings. Warum dies ein Beweis der Maximalität ist, werden in Lemma 4.7.12 und Satz 4.7.13 erfahren.

**4.7.9 Beispiel.** Wir starten unseren Algorithmus mit dem Matching in Abbildung 4.7.

Zunächst stellen wir  $u_1$  und  $u_3$  in die Warteschlange und setzen  $\text{pred}(u_1)=u_1$  und  $\text{pred}(u_3)=u_3$ . Ausgehend vom Knoten  $u_1$  finden wir  $v_2$ , setzen  $\text{pred}(v_2)=u_1$  und stellen dessen Matchingpartner  $u_2$  in die Schlange mit  $\text{pred}(u_2)=v_2$ . Von  $u_3$  aus finden wir keinen neuen Knoten, aber von  $u_2$  aus den ungematchten Knoten  $v_1$ , dessen Vorgänger wir auf  $\text{pred}(v_1)=u_2$  setzen und den wir zurückliefern. Durch Rückverfolgen der Vorgängerfunktion finden wir  $u_1v_2u_2v_1$  als  $M$ -augmentierenden Weg und ersetzen die bisherige Matchingkante  $(u_1, v_2)$  durch  $(u_1v_2)$  und  $(u_2v_1)$ .

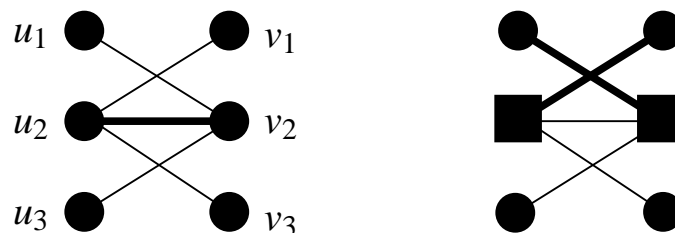


Abbildung 4.8: Zwei Durchläufe der Suche nach einem erweiternden Weg

Wir löschen nun wieder alle Vorgänger, d.h. wir setzen  $\text{pred}$  auf  $\text{None}$  und stellen  $u_3$  in die Schlange, finden von dort aus  $v_2$ , dessen Matchingpartner  $u_1$  in die Schlange aufgenommen wird. Von  $u_1$  aus finden wir nichts Neues und die Warteschlange ist erfolglos abgearbeitet worden. Der einzige Knoten ohne gesetzten Vorgänger in  $U$  ist  $u_2$  und der einzige mit gesetztem Vorgänger in  $V$  ist  $v_2$ . Also ist  $C = \{u_2, v_2\}$ .

**4.7.10 Proposition.** Findet die Prozedur „Find Augmenting Path“ einen ungematchten Knoten  $v$ , so erhält man durch Rückverfolgen des  $\text{pred}$ -Arrays einen  $M$ -augmentierenden Weg.

**Beweis.** Der Knoten  $v$  wurde von einem Knoten  $u$  in  $U$  aus gelabelt. Dieser ist entweder selber ungematched, also  $uv$  ein  $M$ -augmentierender Weg, oder wir suchen vom Matchingpartner von  $u$  an Stelle von  $v$  weiter. Da die Knotenmenge endlich ist und das Verfahren wegen der Vorgängerabfrage in der 8. Zeile nicht zykeln kann, muss es in einem augmentierenden Weg enden.  $\square$

Im Folgenden wollen wir klären, inwiefern die Liste  $C$  ein Beweis dafür ist, dass es keinen augmentierenden Weg mehr gibt. Dafür zunächst noch eine Definition:

**4.7.11 Definition.** Sei  $G = (V, E)$  ein (nicht notwendig bipartiter) Graph und  $C \subseteq V$ . Dann heißt  $C$  *kantenüberdeckende Knotenmenge* oder, kürzer, *Knotenüberdeckung* (engl. *vertex cover*), wenn für alle  $e \in E$  gilt:  $C \cap e \neq \emptyset$ .

**4.7.12 Lemma.** Liefert das Verfahren eine Knotenliste  $C$  zurück, so ist  $|C| = |M|$  und  $C$  ist eine kantenüberdeckende Knotenmenge.

**Beweis.**  $C$  besteht aus allen unerreichten Knoten in  $U$  und allen erreichten Knoten in  $V$ . Also sind alle Knoten in  $C \cap U$  gematched, da ungematchte Knoten zu Beginn in  $Q$  aufgenommen werden, und alle Knoten in  $C \cap V$  sind gematched, da kein ungematchter Knoten in  $V$  gefunden wurde. Andererseits sind die Matchingpartner von Knoten in  $V \cap C$  nicht in  $C$ , da diese ja in  $Q$  aufgenommen wurden. Somit gilt

$$\forall m \in M: |C \cap m| \leq 1.$$

Da  $M$  ein Matching ist und somit kein Knoten zu 2 Kanten in  $M$  inzident sein kann, schließen wir hieraus

$$|C| \leq |M|.$$

Wir zeigen nun, dass  $C$  eine kantenüberdeckende Knotenmenge ist. Angenommen, dies wäre nicht so und  $e = (u, v)$  eine Kante mit  $\{u, v\} \cap C = \emptyset$ . Dann ist  $\text{pred}[v] = \text{None}$ , aber  $\text{pred}[u] \neq \text{None}$ . Als aber  $\text{pred}[u]$  gesetzt wurde, wurde  $u$  gleichzeitig in  $Q$  aufgenommen, also irgendwann auch mal abgearbeitet. Dabei wurde bei allen Nachbarn, die noch keinen Vorgänger hatten, ein solcher gesetzt, insbesondere auch bei  $v$ , im Widerspruch zu  $\text{pred}[v] = \text{None}$ . Also ist  $C$  eine Knotenüberdeckung.

Schließlich folgt  $|C| \geq |M|$  aus der Tatsache, dass kein Knoten zwei Matchingkanten überdecken kann.  $\square$

Den folgenden Satz haben wir damit im Wesentlichen schon bewiesen:

**4.7.13 Satz** (Satz von König 1931). *In bipartiten Graphen ist*

$$\max \{ |M| \mid M \text{ ist Matching} \} = \min \{ |C| \mid C \text{ ist Knotenüberdeckung} \}.$$

**Beweis.** Da jeder Knoten einer Knotenüberdeckung  $C$  höchstens eine Matchingkante eines Matchings  $M$  überdecken kann, gilt stets  $|M| \leq |C|$ , also auch im Maximum. Ist nun  $M$  ein maximales Matching, so liefert die Anwendung von Algorithmus 4.7.8 eine Knotenüberdeckung  $C$  mit  $|C| = |M|$ . Also ist eine minimale Knotenüberdeckung höchstens so groß wie ein maximales Matching.  $\square$

**4.7.14 Bemerkung.** In allgemeinen Graphen ist das Problem der minimalen Knotenüberdeckung **NP**-vollständig.

Wir stellen nun noch zwei Varianten des Satzes von König vor. Dafür führen wir den Begriff der Nachbarschaft von Knoten ein.

**4.7.15 Definition.** Ist  $G = (V, E)$  ein (nicht notwendig bipartiter) Graph und  $H \subseteq V$ , so bezeichnen wir mit  $N_G(H)$  bzw.  $N(H)$  die *Nachbarschaft von  $H$*

$$N(H) := \{v \in V \mid \exists u \in H : (u, v) \in E\}.$$

**4.7.16 Korollar** (Heiratssatz von Frobenius (1917)). *Sei  $G = (U \cup V, E)$  ein bipartiter Graph. Dann hat  $G$  genau dann ein perfektes Matching, wenn  $|U| = |V|$  und*

$$\forall H \subseteq U : |N(H)| \geq |H|. \quad (4.5)$$

**Beweis.** Hat  $G$  ein perfektes Matching und ist  $H \subseteq U$ , so liegt der Matchingpartner jedes Knotens in  $H$  in der Nachbarschaft von  $H$ , die also gewiss mindestens so groß wie  $H$  sein muss. Die Bedingung  $|U| = |V|$  ist bei Existenz eines perfekten Matchings trivialerweise erfüllt.

Die andere Implikation zeigen wir mittels Kontraposition. Wir nehmen an, dass  $G$  keine isolierten Knoten hat, denn sonst ist (4.5) offensichtlich verletzt. Hat  $G$  kein perfektes Matching und ist  $|U| = |V|$  so hat  $G$  nach dem Satz von König eine Knotenüberdeckung  $C$  mit  $|C| < |U|$ . Wir setzen  $H = U \setminus C$ . Da  $C$  eine Knotenüberdeckung ist, ist

$$N(H) \subseteq C \cap V.$$

Also ist

$$|N(H)| \leq |C \cap V| = |C| - |C \cap U| < |U| - |C \cap U| = |U \setminus C| = |H|.$$

Also verletzt  $H$  (4.5).  $\square$

Der Name Heiratssatz kommt von der Interpretation wie in Beispiel 4.7.1. Wenn alle Frauen nur Supermann heiraten wollen, bleiben einige ledig.

Die letzte Variante des Satzes von König ist eine asymmetrische Version des Satzes von Frobenius:

**4.7.17 Satz** (Heiratssatz von Hall). *Sei  $G = (U \cup V, E)$  ein bipartiter Graph. Dann hat  $G$  ein Matching, in dem alle Knoten in  $U$  gematched sind, genau dann, wenn*

$$\forall H \subseteq U : |N(H)| \geq |H|. \quad (4.6)$$

**Beweis.** Wie im Satz von Frobenius ist die Notwendigkeit der Bedingung offensichtlich. Wir können ferner davon ausgehen, dass  $|U| \leq |V|$  ist, da ansonsten sowohl die Nichtexistenz eines gewünschten Matchings als auch die Verletzung von (4.6) offensichtlich ist. Wir fügen nun  $|V| - |U|$  Dummyknoten zu  $U$  hinzu, die alle Knoten in  $V$  kennen, und erhalten den bipartiten Graphen  $\tilde{G} = (\tilde{U} \cup V, \tilde{E})$ , der offensichtlich genau dann ein perfektes Matching hat, wenn  $G$  ein Matching hat, das alle Knoten in  $U$  matched. Hat  $\tilde{G}$  kein perfektes Matching, so gibt es nach dem Heiratssatz von Frobenius eine Menge  $H \subseteq \tilde{U}$  mit  $|N_{\tilde{G}}(H)| < |H|$ . Da die Dummyknoten alle Knoten in  $V$  kennen, muss  $H \subseteq U$  sein und also

$$|N_G(H)| = |N_{\tilde{G}}(H)| < |H|.$$

□

*4.7.18 Bemerkung.* Die im Beweis von Satz 4.7.17 benutzte, im Beweis von Korollar 4.7.16 konstruierte Menge  $H$  nennt man eine *Hall-Menge*.

Wir wollen diesen Abschnitt beschließen mit dem nun hoffentlich offensichtlichen Algorithmus zur Bestimmung eines maximalen Matchings in einem bipartiten Graphen und der Analyse seiner Laufzeit.

**4.7.19 Algorithmus** (Bipartites Matching). *Starte mit einem leeren Matching  $M$  und setze  $C = []$ .*

```

while C == [] :
    (C, w) = FindAugmentingPath(M)
    if C == [] :
        P = BackTrackPath(w)
        Augment(M, P)

```

Wir können offensichtlich höchstens  $\min\{|U|, |V|\}$  Matchingkanten finden, also wird die while-Schleife  $O(\min\{|U|, |V|\})$ -mal ausgeführt. Die Prozedur Find-Augmenting-Path besteht im Wesentlichen aus einer Breitensuche in dem Digraphen, der aus  $G$  entsteht, wenn Matchingkanten „Rückwärtskanten“ und die übrigen Kanten „Vorwärtskanten“, also von  $U$  nach  $V$  orientiert sind. Der Aufwand beträgt also  $O(|E|)$ . Für das Backtracking und die Augmentierung zahlen wir nochmal je  $O(\min\{|U|, |V|\})$ , wenn wir davon ausgehen, dass  $\min\{|U|, |V|\} = O(|E|)$  ist, geht dieser Term in  $O(|E|)$  auf und wir erhalten als Gesamtlaufzeit

$$O(\min\{|U|, |V|\}|E|).$$

**4.7.20 Bemerkung.** Mit etwas, aber nicht viel mehr, Aufwand berechnet ein Algorithmus von Hopcroft und Tarjan ein maximales bipartites Matching in  $O(\sqrt{|V|}|E|)$ .

**4.7.21 Aufgabe.** Bestimmen Sie in dem Graphen in Abbildung 4.9 ein maximales Matching und eine minimale Knotenüberdeckung. Lösung siehe Lösung 4.9.13.

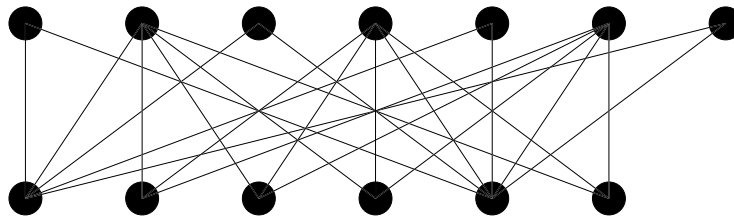


Abbildung 4.9: Ein bipartiter Graph

**4.7.22 Aufgabe.** Betrachten Sie ein Schachbrett, auf dem einige Felder markiert sind. Auf den markierten Feldern sollen Sie nun möglichst viele Türme platzieren, so dass sich keine zwei davon schlagen können. Zeigen Sie:

Die Maximalzahl der Türme, die man auf den markierten Feldern platzieren kann, ohne dass zwei sich schlagen können ist gleich der minimalen Summe der Anzahl der Zeilen und Spalten, die man auswählen kann, so dass jedes markierte Feld in einer ausgewählten Spalte oder in einer ausgewählten Zeile liegt.

Lösung siehe Lösung 4.9.14.

**4.7.23 Aufgabe.** Eine *Permutationsmatrix* ist eine Matrix  $P \in \{0, 1\}^{n \times n}$ , bei der in jeder Zeile und Spalte jeweils genau eine 1 und sonst nur Nullen stehen.

Eine Matrix  $A \in \mathbb{R}^{n \times n}$ , bei der für alle Einträge  $a_{ij}$  gilt  $0 \leq a_{ij} \leq 1$ , heißt *doppelt stochastisch*, wenn die Summe aller Einträge in jeder Zeile und Spalte gleich 1 ist.



Zeigen Sie (etwa per Induktion über die Anzahl  $k \geq n$  der von Null verschiedenen Einträge in  $A$ ): Jede doppelt stochastische Matrix ist eine *Konvexkombination* von Permutationsmatrizen, d. h. es gibt  $l \in \mathbb{N}$  und Permutationsmatrizen  $P_1, \dots, P_l$  sowie Koeffizienten  $\lambda_1, \dots, \lambda_l$  mit  $0 \leq \lambda_i \leq 1$  und  $\sum_{i=1}^l \lambda_i = 1$  so, dass

$$A = \sum_{i=1}^l \lambda_i P_i.$$

Lösung siehe Lösung 4.9.15.

## 4.8 Stabile Hochzeiten

Beschließen wollen wir dieses Kapitel mit einer Variante des Matchingproblems, die der Spieltheorie zugeordnet und durch einen einfachen Algorithmus gelöst wird. Es fängt ganz ähnlich wie beim Matching an.

**4.8.1 Beispiel.** In einer geschlossenen Gesellschaft gibt es je  $n$  heiratsfähige Männer und Frauen. Sowohl Frauen als auch Männer haben Präferenzen, was die Personen des anderen Geschlechts angeht. Aufgabe ist es nun, Männer und Frauen so zu verheiraten, dass es kein Paar aus Mann und Frau gibt, die nicht miteinander verheiratet sind, sich aber gegenseitig Ihren Ehepartnern vorziehen. Etwas salopp formulieren wir, dass niemand „Grund und Gelegenheit“ hat fremdzugehen.

Wir werden uns im Folgenden in der Darstellung an diesem Beispiel orientieren. Das liegt einerseits daran, dass es so in den klassischen Arbeiten präsentiert wird und außerdem die Argumentation dadurch anschaulicher wird. Ähnlichkeiten mit Vorkommnissen bei lebenden Personen oder Personen der Zeitgeschichte werden von uns weder behauptet noch gesehen.

Unsere Modellierung sieht wie folgt aus:

**4.8.2 Definition.** Seien  $U, V$  Mengen mit  $|U| = |V|$  und für alle  $u \in U$  sei  $\prec_u$  eine Totalordnung von  $V$ , sowie für alle  $v \in V$  sei  $\prec_v$  eine Totalordnung von  $U$ . Eine bijektive Abbildung von  $\tau : U \rightarrow V$  heißt *stabile Hochzeit*, wenn für alle  $u \in U$  und  $v \in V$  gilt,

$$\text{entweder } \tau(u) = v \text{ oder } v \prec_u \tau(u) \text{ oder } u \prec_v \tau^{-1}(v).$$

In Worten: entweder  $u$  und  $v$  sind miteinander verheiratet oder mindestens einer zieht seinen Ehepartner dem anderen (d.h.  $u$  oder  $v$ ) vor.

Wir nennen  $U$  die Menge der Männer und  $V$  die Menge der Frauen.

Es ist nun nicht ohne Weiteres klar, dass es für alle Präferenzlisten stets eine stabile Hochzeit gibt. Dass dies so ist, wurde 1962 von den Erfindern dieses „Spiels“, Gale und Shapley, algorithmisch gezeigt. Der Algorithmus, mit dem sie eine stabile Hochzeit berechnen, trägt seine Beschreibung schon im Namen: „Men propose – Women dispose“.

**4.8.3 Algorithmus** (Men propose – Women dispose). *Eingabedaten wie eben. Zu Anfang ist niemand verlobt. Die verlobten Paare bilden stets ein Matching im vollständigen bipartiten Graphen auf  $U$  und  $V$ . Der Algorithmus terminiert, wenn das Matching perfekt ist.*

- *Solange es einen Mann gibt, der noch nicht verlobt ist, macht dieser der besten Frau auf seiner Liste einen Antrag.*
- *Wenn die Frau nicht verlobt ist oder ihr der Antragsteller besser gefällt als ihr Verlobter, nimmt sie den Antrag an und löst, falls existent, ihre alte Verlobung. Ihr Ex-Verlobter streicht sie von seiner Liste.*
- *Andernfalls lehnt Sie den Antrag ab, und der Antragsteller streicht sie von seiner Liste.*

Zunächst stellen wir fest, dass wir alle soeben aufgeführten Schritte in konstanter Zeit durchführen können, wenn wir davon ausgehen, dass die Präferenzen als Liste gegeben sind und wir zusätzlich zwei Elemente in konstanter Zeit vergleichen können. Die unverlobten Männer können wir in einer Queue verwalten, deren erstes Element wir in konstanter Zeit finden. Ebenso können wir später einen Ex-Verlobten in konstanter Zeit ans Ende der Queue stellen. Der Antragsteller findet seine Favoritin in konstanter Zeit am Anfang seiner Liste und diese braucht nach Annahme auch nicht länger, um ihn mit Ihrem Verlobten zu vergleichen.

Für die Laufzeit des Algorithmus ist also folgende Feststellung ausschlaggebend:

**4.8.4 Proposition.** *Kein Mann macht der gleichen Frau zweimal einen Antrag.*

**Beweis.** Wenn ein Mann beim ersten Antrag abgelehnt wird, streicht er die Frau von seiner Liste. Wird er angenommen, so streicht er sie von seiner Liste, wenn sie ihm den Laufpass gibt. □

Nun überlegen wir uns, dass der Algorithmus zulässig ist, dass also stets ein Mann, der nicht verlobt ist, noch mindestens eine Kandidatin auf seiner Liste hat. Dazu beobachten wir:

**4.8.5 Proposition.** *Eine Frau, die einmal verlobt ist, bleibt es und wird zu keinem späteren Zeitpunkt mit einem Antragsteller verlobt sein, der ihr schlechter als ihr derzeitiger Verlobter gefällt.*

**Beweis.** Eine Frau löst eine Verlobung nur, wenn sie einen besseren Antrag bekommt. Der Rest folgt induktiv, da die Ordnung der Präferenzen transitiv ist.  $\square$

Da die Anzahl der verlobten Frauen und Männer stets gleich ist, gibt es mit einem unverlobten Mann auch stets noch mindestens eine unverlobte Frau, die also auch noch auf der Liste unseres Antragstellers stehen muss. Setzen wir nun  $|U| = |V| = n$ , so haben wir damit fast schon gezeigt:

**4.8.6 Satz.** a) *Der Algorithmus „Men propose – Women dispose“ terminiert in  $O(n^2)$ .*

b) *Wenn er terminiert, sind alle verlobt.*

c) *Die durch die Verlobungen definierte bijektive Abbildung ist eine stabile Hochzeit.*

**Beweis.**

a) Eine Antragstellung können wir in konstanter Zeit abarbeiten. Jeder Mann macht jeder Frau nach Proposition 4.8.4 höchstens einen Antrag, also gibt es höchstens  $n^2$  Anträge und somit ist die Laufzeit  $O(n^2)$ .

b) Da der Algorithmus erst terminiert, wenn jeder Mann verlobt ist und  $|U| = |V|$  ist, sind am Ende alle verlobt.

c) Bezeichnen wir die Verlobungsabbildung wieder mit  $\tau$ . Seien  $u \in U$  und  $v \in V$  nicht verlobt, aber  $\tau(u) \prec_u v$ . Als  $u$   $\tau(u)$  einen Antrag machte, stand  $v$  nicht mehr auf seiner Liste, muss also vorher gestrichen worden sein. Als  $u$   $v$  von seiner Liste strich, war sie entweder mit einem Mann verlobt, den sie  $u$  vorzog oder hatte soeben von einem entsprechenden Kandidaten einen Antrag bekommen. Nach Proposition 4.8.5 gilt also auch zum Zeitpunkt der Terminierung  $u \prec_v \tau^{-1}(v)$ . Also bildet  $\tau$  eine stabile Hochzeit.

$\square$

**4.8.7 Aufgabe.** Zeigen Sie: Der Algorithmus „Men propose – Women dispose“ liefert eine *männeroptimale* stabile Hochzeit, d. h. ist  $u \in U$  ein beliebiger Mann und  $\tau$  das Ergebnis von „Men propose – Women dispose“, so gibt es keine stabile Hochzeit  $\sigma$ , in der  $u$  mit einer Frau verheiratet wird, die er seiner gegenwärtigen vorzieht, d. h. für jede stabile Hochzeit  $\sigma$  gilt

$$\forall u \in U : \sigma(u) \preceq_u \tau(u).$$

Lösung siehe Lösung 4.9.16.

Selbstverständlich kann man aus Symmetriegründen im gesamten Abschnitt die Rollen von Männern und Frauen vertauschen. Dann liefert „Women propose – Men dispose“ eine *frauenoptimale*, stabile Hochzeit. Mischformen dieser beiden Ansätze, die eine stabile Hochzeit liefern, sind uns aber nicht bekannt.

Donald Knuth [24] hat eine kleine Einführung in wichtige Konzepte und Techniken der Informatik und Mathematik geschrieben, die dafür die Theorie der stabilen Hochzeiten benutzt.

## 4.9 Lösungsvorschläge zu den Übungen

**4.9.1 Lösung** (zu Aufgabe 4.1.6). a) Nach Satz 4.1.5 d) enthält  $T + \bar{e}$  einen Kreis, es bleibt also nur die Eindeutigkeit des Kreises zu zeigen. Ist aber  $C$  ein Kreis in  $T + \bar{e}$  und  $\bar{e} = (u, v)$ , so ist  $C \setminus \bar{e}$  ein  $uv$ -Weg in  $T$ . Nach Satz 4.1.5 b) gibt es in  $T$  genau einen  $uv$ -Weg  $P$ . Also ist  $C = P + \bar{e}$  und damit eindeutig.

b) Sei  $e \in C(T, \bar{e}) \setminus \bar{e}$ . Da  $T + \bar{e}$  nur den Kreis  $C(T, \bar{e})$  enthält, ist  $\tilde{E} = (E + \bar{e}) \setminus e$  kreisfrei. Da nach Satz 4.1.5 [a)  $\Rightarrow$  f)]  $|E| = |V| - 1$  und offensichtlich  $|\tilde{E}| = |E|$  gilt, ist auch  $\tilde{T} = (V, \tilde{E})$  nach Satz 4.1.5 [f)  $\Rightarrow$  a)] ein Baum.

**4.9.2 Lösung** (zu Aufgabe 4.2.2). Sei zunächst  $(T, r)$  ein Wurzelbaum mit  $T = (V, E)$  und die Kanten wie in der Definition angegeben orientiert. Da es zu jedem Knoten  $v$  einen gerichteten  $rv$ -Weg gibt, muss in alle  $v \in V \setminus \{r\}$  mindestens eine Kante hineinführen, es gilt also

$$\forall v \in V \setminus \{r\} : \deg^+(v) \geq 1. \quad (4.7)$$

Andererseits ist nach Satz 4.1.5  $|E| = |V| - 1$  und somit

$$\sum_{v \in V} \deg^+(v) = |V| - 1,$$

also muss in (4.7) überall Gleichheit gelten und  $\deg^+(r) = 0$  sein.

Sei nun umgekehrt  $\vec{T} = (V, A)$  ein zusammenhängender Digraph mit den angegebenen Innengraden und  $r \in V$  der eindeutige Knoten mit  $\deg^+(r) = 0$ . Da  $\vec{T}$  als zusammenhängend vorausgesetzt wurde, ist der  $\vec{T}$  zu Grunde liegende ungerichtete Graph  $T = (V, E)$  wegen

$$|E| = |A| = \sum_{v \in V} \deg^+(v) = |V| - 1$$

nach Satz 4.1.5 ein Baum. Wir haben noch zu zeigen, dass die Kanten wie in der Definition angegeben bzgl.  $r$  als Wurzel orientiert sind. Sei dazu  $v \in V$  und  $P = rv_1v_2 \dots v_{k-1}v$  der nach Satz 4.1.5 eindeutige  $rv$ -Weg in  $T$ . Da  $\deg^+(r) = 0$  ist, muss  $(rv_1)$  von  $r$  nach  $v_1$  orientiert sein. Da  $v_1$  schon eine eingehende Kante hat, muss  $(v_1, v_2)$  von  $v_1$  nach  $v_2$  orientiert sein, und wir schließen induktiv, dass  $P$  ein gerichteter Weg von  $r$  nach  $v$  ist.

**4.9.3 Lösung** (zu Aufgabe 4.2.6). Wir führen Induktion über die Anzahl der Knoten von  $T$ . Besteht  $T$  aus nur einem Knoten, so ist sein Code  $()$ , also wohlgeklammert.

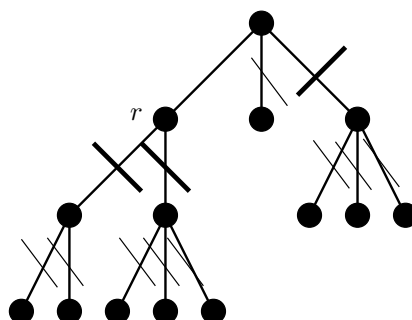
Sei nun  $(T, r, \rho)$  ein gepflanzter Baum mit mindestens zwei Knoten. Die Codes  $C_1, \dots, C_k$  der Kinder von  $r$  sind nach Induktionsvoraussetzung wohlgeklammerte Ausdrücke. Der Code von  $T$  ist  $C = (C_1 \dots C_k)$ . Mit den  $C_i$  hat also auch  $C$  gleich viele öffnende wie schließende Klammern.  $C$  beginnt mit einer öffnenden Klammer. Angenommen, diese würde etwa durch eine Klammer in  $C_i$  geschlossen. Da die  $C_j$  mit  $j < i$  wohlgeklammert sind, ist nach der letzten schließenden Klammer von  $C_{i-1}$  noch genau die erste Klammer von  $C$  offen. Wird diese in  $C_i$  geschlossen, so wird in  $C_i$  selber eine Klammer geschlossen, zu der es vorher keine öffnende gab im Widerspruch dazu, dass  $C_i$  wohlgeklammert ist.

**4.9.4 Lösung** (zu Aufgabe 4.2.7). Wir führen wieder Induktion über die Anzahl der Knoten in  $(T, r, \rho)$ . Sei  $(T', r', \rho')$  der durch die rekursive Prozedur von Seite 125 bestimmte gepflanzte Baum. Hat  $T'$  nur einen Knoten, so galt dies auch für  $T$  und die Bijektion zwischen diesen beiden Knoten ist ein Isomorphismus der gepflanzten Bäume. Habe nun  $T$  mindestens zwei Knoten und seien  $y_1, \dots, y_k$  die direkten Nachfahren von  $r$  und  $C_1, \dots, C_k$  die zugehörigen Codes der gepflanzten Bäume  $(T_1, y_1, \rho_1), \dots, (T_k, y_k, \rho_k)$ , die in den  $y_i$  gewurzelt sind. Seien  $y'_1, \dots, y'_k$  die Wurzeln der in der rekursiven Prozedur zu  $C_1, \dots, C_k$  definierten gepflanzten Wurzelbäume  $(T'_i, y'_i, \rho'_i)$ . Nach Induktionsvoraussetzung gibt es Isomorphismen  $\phi_i : (T_i, y_i, \rho_i) \rightarrow (T'_i, y'_i, \rho'_i)$ . Indem wir diese Abbildungen vereinigen und  $r$  auf  $r'$  abbilden, erhalten wir eine Bijektion  $\phi$  der Knoten von  $T$  und  $T'$ . Da die in  $r$  ausgehenden Kanten berücksichtigt werden und die  $\phi_i$  Isomorphismen der gepflanzten Bäume sind, ist  $\phi$  schon mal ein Isomorphismus der zugrundeliegenden Bäume. Da die Wurzel auf die Wurzel abgebildet wird, an der Wurzel die Reihenfolge nach Konstruktion und ansonsten nach Induktionsvoraussetzung berücksichtigt wird, ist  $\phi$  ein Isomorphismus der gepflanzten Bäume.

**4.9.5 Lösung** (zu Aufgabe 4.2.8). Seien  $(T, r)$  und  $(T', r')$  Wurzelbäume und  $\phi$  ein Isomorphismus. Wir führen wieder Induktion über die Anzahl der Knoten in  $T$  und  $T'$ . Haben die Bäume nur einen Knoten, so erhalten sie den gleichen Code. Sei also nun die Anzahl der Knoten in  $T$  und  $T'$  mindestens zwei. Seien  $y_1, \dots, y_k$  die Kinder von  $r$  und  $y'_i = \phi(y_i)$ . Die Restriktionen  $\phi_i$  von  $\phi$  auf die in  $y_i$  gewurzelten Teilbäume von  $T$  sind offensichtlich Isomorphismen, also sind die zugehörigen Codes gleich nach Induktionsvoraussetzung. Da die Codes von  $T$  und  $T'$  durch Ordnen und Einklammern dieser Codes entstehen, erhalten sie den gleichen Code.

**4.9.6 Lösung** (zu Aufgabe 4.2.12). Wenn wir in zwei Durchgängen jeweils alle Blätter entfernen, um das Zentrum zu bestimmen, stellen wir fest, dass dieses aus

einer Kante besteht (siehe Abbildung).



An dem linken der beiden Zentrums-knoten, also dem Knoten  $r$ , haben wir Teilbäume mit den Codes  $((())())$  und  $((())$ ). Der erste dieser beiden Codes ist lexikographisch kleiner, da das erste Zeichen, in dem sich die beiden Strings unterscheiden, im ersten Fall eine öffnende und im zweiten eine schließende Klammer ist. Also hat dieser Teilbaum den Code  $((())())$ . Für den Teilbaum an dem anderen Knoten, also dem obersten Knoten in der Abbildung, ermitteln wir den Code  $((())())$ . Dieser ist lexikographisch größer als der erste Code. Also ist der Wurzelknoten der mit  $r$  bezeichnete Knoten in der Abbildung. Machen wir diesen zur Wurzel, hängt an dem anderen Zentrums-knoten der gepflanzte Baum mit dem lexikographisch kleinsten Code. Insgesamt erhalten wir also als Code dieses Baumes

$$(((())())())((())())((())$$

**4.9.7 Lösung** (zu Aufgabe 4.4.6). Sei zunächst  $T$  ein minimaler  $G$  aufspannender Baum und  $\bar{e} \in E \setminus T$ . Sei  $e \in C(T, \bar{e})$  beliebig. Nach Aufgabe 4.1.6 ist dann  $\tilde{T} := (T + \bar{e}) \setminus e$  wieder ein Baum und damit wieder ein  $G$  aufspannender Baum. Da  $T$  minimal ist, schließen wir

$$\begin{aligned} w(T) = \sum_{f \in T} w(f) &\leq w(\hat{T}) = w(T) - w(e) + w(\bar{e}) \\ \Leftrightarrow w(e) &\leq w(\bar{e}). \end{aligned}$$

Sei nun umgekehrt  $T$  ein  $G$  aufspannender Baum, der das Kreiskriterium erfüllt und  $\bar{T}$  ein minimaler  $G$  aufspannender Baum mit  $|T \cap \bar{T}|$  maximal. Wir zeigen  $T = \bar{T}$ . Angenommen  $T \setminus \bar{T} \neq \emptyset$ . Sei dann  $e \in T \setminus \bar{T} \neq \emptyset$  von kleinstem Gewicht gewählt. Da  $\bar{T}$  nach dem bereits Gezeigten das Kreiskriterium erfüllt, gilt für alle  $f \in C(\bar{T}, e) : w(f) \leq w(e)$ . Da  $T$  kreisfrei ist, gibt es  $f \in C(\bar{T}, e) \setminus T$ . Da man bei  $w(f) = w(e)$  mit  $(\bar{T} + e) \setminus f$  einen weiteren minimalen  $G$  aufspannenden Baum

erhalten würde, der aber einen größeren Schnitt mit  $T$  hat als  $\bar{T}$ , muss  $w(f) < w(e)$  sein. Für alle  $g \in C(T, f)$  gilt nun wiederum

$$w(g) \leq w(f) < w(e).$$

Insbesondere gibt es ein  $g \in C(T, f) \setminus \bar{T}$  mit  $w(g) < w(e)$  im Widerspruch zur Wahl von  $e$ .

Da nach Satz 4.1.5 alle Bäume auf der gleichen Knotenmenge gleich viele Kanten haben, folgt die Behauptung.

**4.9.8 Lösung** (zu Aufgabe 4.5.3). a) Sei  $e = (u, v) \in T$ . Nach Satz 4.1.5 ist  $T \setminus e$  unzusammenhängend. Da  $T$  zusammenhängend ist, hat  $T \setminus e$  genau zwei Zusammenhangskomponenten. Sei  $S$  die Knotenmenge der einen. Wir behaupten

$$D(T, e) = \partial_G(S).$$

$\subseteq$  Sei  $\bar{e} \in D(T, e)$ . Da die Komponenten von  $T \setminus e$  wieder Bäume sind und  $(T \setminus e) + \bar{e}$  als Baum kreisfrei ist, können nicht beide Endknoten von  $\bar{e}$  in der gleichen Komponente von  $T \setminus e$  liegen. Somit gilt  $|\bar{e} \cap S| = 1$ , also auch  $\bar{e} \in \partial(S)$ .

$\supseteq$  Sei  $(w, x) = \bar{e} \in \partial S$  und  $\bar{e} \cap S = \{w\}$ . Wir haben zu zeigen, dass  $\tilde{T} := (T \setminus e) + \bar{e}$  wieder ein Baum ist. Da  $\tilde{T}$  ebenso viele Kanten wie  $T$  hat, genügt es nach Satz 4.1.5 zu zeigen, dass  $\tilde{T}$  zusammenhängend ist. Da  $T$  zusammenhängend ist, genügt es, einen  $uv$ -Weg in  $\tilde{T}$  zu finden. Da die  $S$ -Komponente von  $T \setminus e$  ein Baum ist, gibt es darin einen  $uw$ -Weg  $P_1$ . Analog erhalten wir in der anderen Komponente einen  $xv$ -Weg  $P_2$ . Dann ist aber  $P_1 \bar{e} P_2$  ein  $uv$ -Weg in  $\tilde{T}$ , das somit ein Baum ist.

b) Sei  $T$  ein minimaler aufspannender Baum,  $e \in T$  und  $\bar{e} \in D(T, e)$ . Auf Grund der Minimalität von  $T$  ist

$$w(T) = \sum_{e \in T} w(e) \leq w((T \setminus e) + \bar{e}) = w(T) - w(e) + w(\bar{e}),$$

also auch  $w(e) \leq w(\bar{e})$ .

Sei umgekehrt  $T$  ein aufspannender Baum, der das Schnittkriterium erfüllt und  $\tilde{T}$  ein minimaler aufspannender Baum mit  $|T \cap \tilde{T}|$  maximal. Angenommen  $T \setminus \tilde{T} \neq \emptyset$ . Sei dann  $(u, v) = e \in T \setminus \tilde{T}$  von maximalem Gewicht. Da  $\tilde{T}$  zusammenhängend ist, enthält er mindestens eine Kante  $\bar{e}$ , die die beiden



Komponenten von  $T \setminus e$  verbindet. Ist  $S$  die Knotenmenge der einen Komponente von  $T \setminus e$ , so ist also  $\bar{e} \in \partial_G(S) = D(T, e)$ . Nach Teil a) ist  $(T \setminus e) + \bar{e}$  wieder ein Baum und damit  $w(\bar{e}) \geq w(e)$ . Da  $T$  zusammenhängend ist, enthält es ein  $g \in D(\tilde{T}, \bar{e})$ . Da  $\tilde{T}$  als minimaler aufspannender Baum nach dem bereits Gezeigten das Schnittkriterium erfüllt, ist  $w(g) \geq w(\bar{e})$ . Da  $|T \cap \tilde{T}|$  maximal gewählt worden war, muss sogar gelten  $w(g) > w(\bar{e})$ . Dann ist aber  $g \in T \setminus \tilde{T}$  mit

$$w(g) > w(\bar{e}) \geq w(e)$$

im Widerspruch zur Wahl von  $e$ .

**4.9.9 Lösung** (zu Aufgabe 4.5.4). Sei  $S$  eine nicht leere Menge natürlicher Zahlen,  $v$  darin die kleinste. Wir betrachten den vollständigen Graphen auf  $S$  und für  $e = (i, j)$  sei

$$w(e) = \max\{i, j\}.$$

Offensichtlich nehmen wir in Prim's Algorithmus die Elemente von  $S$  in aufsteigender Reihenfolge in  $T$  auf, sortieren also die Menge. Damit ist die Laufzeit von unten durch

$$\Omega(|S| \log |S|)$$

beschränkt. Bekanntlich ist Sortieren nämlich  $\Omega(|S| \log |S|)$ , siehe etwa [1].

**4.9.10 Lösung** (zu Aufgabe 4.5.5). a) Offensichtlich ist der kontrahierte Graph  $T/S$  zusammenhängend. Dieser Graph ist aber gleich dem von der Kantenmenge  $E(T) \setminus S$  in  $G/S$  induzierten Graphen. Da man ferner bei jeder Kontraktion einer Kante, die nicht Schleife ist, einen Knoten verliert und also

$$|T \setminus S| = |T| - |S| = |V| - 1 - |S| = |V(G/S)| - 1$$

gilt, ist  $T/S$  nach Satz 4.1.5 ein aufspannender Baum von  $G/S$ . Wir zeigen:  $T/S$  erfüllt das Schnittkriterium. Sei also  $e \in E(T) \setminus S$  und  $\bar{e} \in D_{G/S}(T \setminus S, e)$ . Wir zeigen

$$D_{G/S}(T \setminus S, e) = D_G(T, e),$$

woraus die Behauptung folgt, da  $T$  als minimaler aufspannender Baum das Schnittkriterium erfüllt. Seien dazu  $V_1, V_2$  die Knotenmengen der Komponenten von  $T \setminus e$ . Dann ist  $D_G(T, e) = \partial_G(V_1)$ . Die Komponenten von  $T \setminus (S \cup \{e\})$  in  $G/S$  entstehen aus den Komponenten von  $T \setminus e$ , indem in den Teilbäumen Kanten kontrahiert werden. Seien die Knoten der Komponenten  $\tilde{V}_1, \tilde{V}_2$ . Dann ist  $D_{G/S}(T \setminus S, e) = \partial_{G/S}(\tilde{V}_1)$ . Ist nun  $e' \in \partial_G(V_1)$  so ist in  $G/S$

ein Endknoten von  $e'$  in  $\tilde{V}_1$  und der andere in  $\tilde{V}_2$ , also auch  $e' \in \partial_{G/S}(\tilde{V}_1)$ . Umgekehrt muss die Kante in  $G$ , aus der eine Kante in  $\partial_{G/S}(\tilde{V}_1)$  entstanden ist, in  $\partial_G(V_1)$  gewesen sein.

- b) Sei  $T$  ein minimaler aufspannender Baum,  $v \in V$  und  $e$  die eindeutige Kante kleinsten Gewichts inzident mit  $v$ . Angenommen  $e \notin T$ . Da sicherlich  $e \in C(T, e)$  liegt, hat  $v$  in diesem Kreis den Knotengrad 2. Sei  $f \in C(T, e)$  die andere Kante inzident mit  $v$ . Nach dem Kreiskriterium ist  $w(f) \leq w(e)$ . Da  $w$  injektiv ist, gilt sogar  $w(f) < w(e)$  im Widerspruch zur Wahl von  $e$ . Also ist die Kantenmenge  $S$  in jedem minimalen aufspannenden Baum enthalten.

Es bleibt zu zeigen, dass der minimale aufspannende Baum eindeutig ist. Angenommen  $\tilde{T}$  wäre ein weiterer minimaler aufspannender Baum und  $e_0 \in T \setminus \tilde{T}$  von minimalem Gewicht. Da  $\tilde{T}$  das Kreiskriterium erfüllt und  $w$  injektiv ist, gilt

$$\forall g \in C(\tilde{T}, e_0) : w(g) < w(e_0),$$

insbesondere gilt dies auch für ein  $g_0 \in C(\tilde{T}, e) \setminus T$ . Nun ist  $g_0$  von maximalem Gewicht in  $C(T, g_0)$ , also gibt es ein  $f_0 \in C(T, g_0) \setminus T$  mit

$$w(f_0) < w(g_0) < w(e_0),$$

im Widerspruch zur Wahl von  $e_0$ .

**4.9.11 Lösung** (zu Aufgabe 4.5.10). Der Algorithmus von Kruskal betrachtet zunächst die Kanten mit dem Gewicht 2, also  $(i, 2i)$  mit  $i = 1, \dots, 15$  in dieser Reihenfolge. Als nächstes wird die Kante  $(1, 3)$  hinzugefügt. Die Kante  $(2, 6)$  wird verworfen, da sie mit  $(1, 2), (3, 6)$  und  $(1, 3)$  einen Kreis schließt. Aufgenommen von den Kanten mit Gewicht 3 werden  $(3, 9), (5, 15), (7, 21), (9, 27)$ . Die Kanten mit Gewicht 4 brauchen wir nicht zu betrachten, da sie mit zwei Kanten vom Gewicht 2 einen Kreis schließen. Analoges gilt für alle Gewichte, die keine Primzahlen sind. Kanten vom Gewicht 5 im Baum sind  $(1, 5), (5, 25)$ . Schließlich werden aufgenommen

$$(1, 7), (1, 11), (1, 13), (1, 17), (1, 19), (1, 23), (1, 29).$$

Der Algorithmus von Prim wählt die Kanten  $(1, 2), (2, 4), (4, 8), (8, 16)$ . Dann eine vom Gewicht drei und weitere vom Gewicht zwei nämlich  $(1, 3), (3, 6), (6, 12), (12, 24)$ . Dann  $(3, 9), (9, 18), (9, 27)$ . Die übrigen Kanten werden in folgender Reihenfolge gewählt

$$(1, 5), (5, 10), (10, 20), (5, 15), (15, 30), (5, 25), (1, 7), (7, 14), (14, 28), (7, 21)$$

und weiter

$(1, 11), (11, 22), (1, 13), (13, 26), (1, 17), (1, 19), (1, 23), (1, 29)$ .

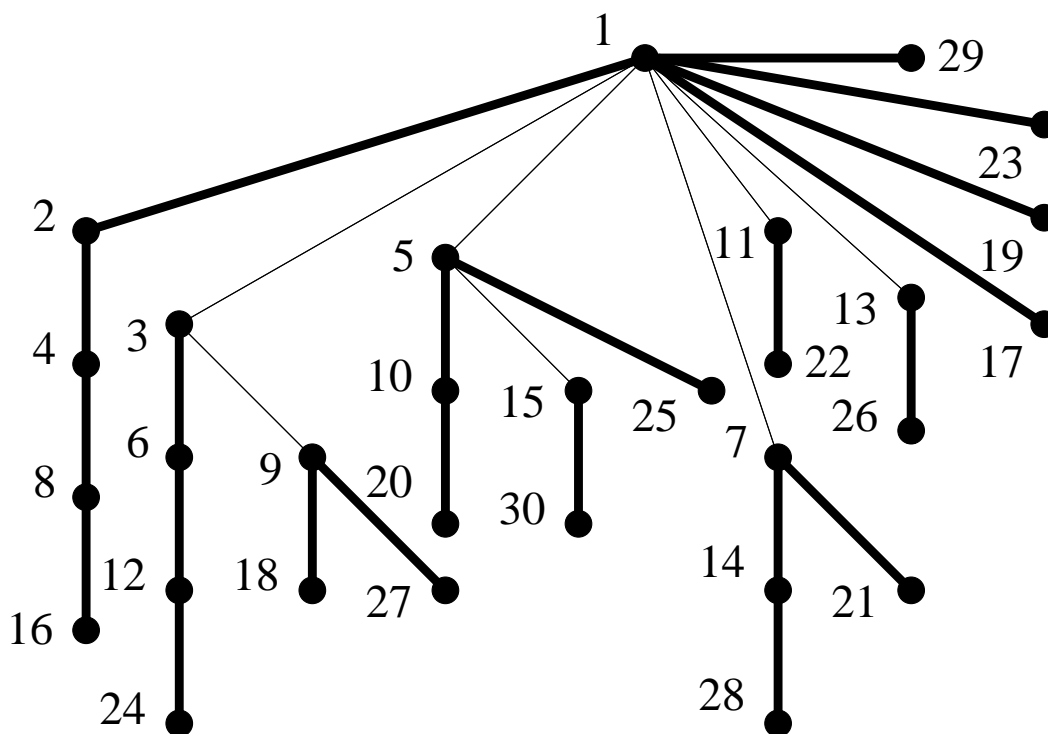


Abbildung 4.10: Der minimale aufspannende Baum

Für den Algorithmus von Borůvka erstellen wir zunächst eine Tabelle der beliebtesten Nachbarn. Die zugehörigen Kanten haben wir in Abbildung 4.10 fett ein-

1	2	3	4	5	6	7	8	9	10	11	12	13	14	15
2	1	6	2	10	3	14	4	18	5	22	6	26	7	30
16	17	18	19	20	21	22	23	24	25	26	27	28	29	30
8	1	9	1	10	7	11	1	12	5	13	9	14	1	15

Tabelle 4.1: Die beliebtesten Nachbarn

gezeichnet. Der zugehörige Wald hat acht Komponenten. Wir schreiben für Repräsentanten wieder die beliebtesten Nachbarn auf:

1	3	5	7	9	11	13	15
3	1	15	1	3	1	1	5

Dadurch kommen sechs neue Kanten hinzu und die letzte, nämlich (1,5) in der dritten Iteration.

Der minimale aufspannende Baum ist ohne unsere Vereinbarung zum „Tie-breaking“ nicht eindeutig. Z. B. kann man die Kante (1,3) durch (2,6) ersetzen.

**4.9.12 Lösung** (zu Aufgabe 4.6.4). Sei  $X$  die Anzahl der aufspannenden Bäume, welche die Kante  $e$  enthalten. Aus Symmetriegründen ist beim vollständigen Graphen  $X$  unabhängig von der Wahl von  $e$ . Wenn wir nun für alle Kanten  $e$  in  $G$  jeweils die aufspannenden Bäume, die  $e$  enthalten, zählen, haben wir jeden Baum so oft gezählt, wie er Kanten enthält, also  $n-1$  mal. Da  $G$   $\binom{n}{2}$  Kanten hat, folgt also aus der Cayley Formel

$$\begin{aligned} \binom{n}{2} X &= (n-1)n^{n-2} \\ \Leftrightarrow \frac{n(n-1)}{2} X &= (n-1)n^{n-2} \\ \Leftrightarrow X &= 2n^{n-3}. \end{aligned}$$

**4.9.13 Lösung** (zu Aufgabe 4.7.21). Wir betrachten die oberen Knoten als  $U$  und die unteren als  $V$ . In den ersten vier Schleifendurchläufen finden wir an den ersten

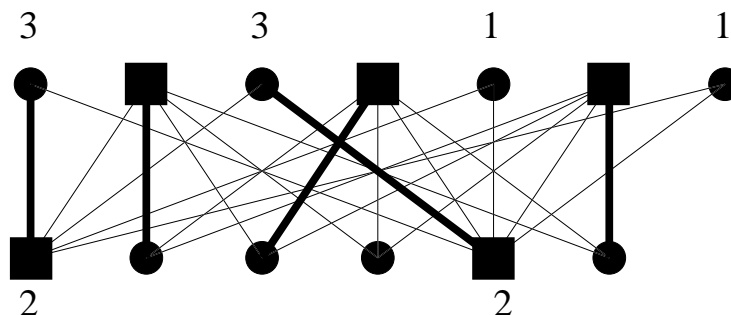


Abbildung 4.11: Ein maximales Matching und eine minimale Knotenüberdeckung

vier Knoten jeweils erweiternde Wege der Länge 1, also Matchingkanten. Diese sind in Abbildung 4.11 fett gezeichnet. Im fünften Durchlauf finden wir am fünften Knoten keine Matchingkante, aber am sechsten. Für die nächste Iteration haben wir Durchläufe der while-Schleife, in der die Knoten gefunden werden, an diesen angedeutet. Dabei nehmen wir passenderweise für  $U$ -Knoten ungerade Nummern und für  $V$ -Knoten gerade. In einem Durchlauf der while-Schleife werden also eigentlich zwei verschiedene Nummern abgetragen.

Als erstes markieren wir die beiden ungematchten Knoten mit 1, dann deren Nachbarn mit 2. Da diese beide gematcht sind, markieren wir ihre Matchingpart-

ner mit 3. Die mit 3 markierten Knoten kennen nun keine unmarkierten Knoten mehr. Das Matching ist maximal, und die markierten  $V$ -Knoten und die unmarkierten  $U$ -Knoten, die wir durch Quadrate angedeutet haben, bilden eine minimale Knotenüberdeckung.

**4.9.14 Lösung** (zu Aufgabe 4.7.22). Seien die Zeilen des Schachbrettes wie allgemein üblich  $Z := \{1, 2, 3, 4, 5, 6, 7, 8\}$  und die Spalten  $S := \{a, b, c, d, e, f, g, h\}$ . Wir betrachten den bipartiten  $G$  Graphen auf  $S \cup Z$ , bei dem  $(i, x)$  eine Kante ist, wenn das Feld  $ix$  markiert ist, für  $i \in S$  und  $x \in Z$ .

Zwei Türme können sich genau dann schlagen, wenn sie entweder in der gleichen Zeile oder in der gleichen Spalte stehen. Die entsprechenden Kanten der zugehörigen markierten Felder inzidieren also mit einem gemeinsamen Knoten in  $G$ . Mittels Kontraposition stellen wir fest, dass eine Platzierung von Türmen auf einer Teilmenge der markierten Felder genau dann zulässig ist, wenn die entsprechenden Kanten in  $G$  ein Matching bilden. Gesucht ist also die Kardinalität eines maximalen Matchings.

Nach dem Satz von König ist diese gleich der minimalen Kardinalität einer Knotenüberdeckung. Eine Menge von Zeilen und Spalten entspricht aber genau dann einer kantenüberdeckenden Knotenmenge in  $G$ , wenn jedes markierte Feld in einer solchen Zeile oder Spalte liegt.

**4.9.15 Lösung** (zu Aufgabe 4.7.23). Wie vorgeschlagen, führen wir Induktion über die Anzahl  $k \geq n$  der von Null verschiedenen Einträge in  $P$ . Ist  $k = n$ , so ist in jeder Zeile und Spalte höchstens ein Eintrag von Null verschieden. Da die Matrix doppelt stochastisch ist, schließen wir, dass in jeder Zeile und Spalte genau ein Eintrag von Null verschieden und genauer gleich 1 ist. Also ist die Matrix eine Permutationsmatrix. Wir setzen also  $l = 1$ ,  $\lambda_1 = 1$  und  $P_1 = A$ .

Sei nun  $k > n$ . Wir betrachten den bipartiten Graphen  $G$  auf der Menge der Zeilen und Spalten, bei der eine Zeile mit einer Spalte genau dann adjazent ist, wenn der entsprechende Eintrag in der Matrix von Null verschieden ist.

Wir zeigen nun, dass  $G$  die Bedingung des Heiratssatzes von Frobenius erfüllt. Nach Annahme ist die Matrix quadratisch, die beiden Farbklassen von  $G$  sind also gleich groß. Sei nun  $H$  eine Menge von Zeilen von  $A$  und  $N(H)$  die Menge der Spalten, die zu  $H$  in  $G$  benachbart sind. Da die Matrix doppelt stochastisch ist, erhalten wir

$$|N(H)| = \sum_{j \in N(H)} \underbrace{\sum_{i=1}^n a_{ij}}_{=1} \geq \sum_{\substack{j \in N(H) \\ i \in H}} a_{ij} = \sum_{i \in H} \underbrace{\sum_{j=1}^n a_{ij}}_{=1} = |H|.$$

Beachten Sie, dass das Ungleichheitszeichen daher rührt, dass in den Spalten von  $N(H)$  Nichtnulleinträge in Spalten außerhalb von  $H$  vorkommen können. Die vorletzte Gleichung folgt, da  $a_{ij} = 0$  für alle  $j \notin N(H)$ ,  $i \in H$  ist.

Also hat  $G$  ein perfektes Matching  $M$ . Sei  $P$  die Permutationsmatrix, die in  $(i, j)$  genau dann eine 1 hat, wenn  $(i, j) \in M$  und Null sonst. Sei ferner

$$\alpha = \min\{a_{ij} \mid (i, j) \in M\}.$$

Da  $k > n$  ist und nach Konstruktion von  $G$  muss  $0 < \alpha < 1$  sein. Weil  $\alpha$  minimal gewählt wurde, ist

$$A - \alpha P$$

eine Matrix mit nicht-negativen Einträgen und Zeilen- und Spaltensumme jeweils  $1 - \alpha$ . Ferner hat  $A - \alpha P$  mindestens einen Nichtnulleintrag weniger als  $A$ , nämlich dort, wo  $\alpha$  das Minimum annahm. Also ist

$$\tilde{A} := \frac{1}{1 - \alpha} (A - \alpha P)$$

eine doppelt stochastische Matrix mit mindestens einem Nichtnulleintrag weniger als  $A$ . Also gibt es nach Induktionsvoraussetzung  $\tilde{l} \in \mathbb{N}$  und Permutationsmatrizen  $P_1, \dots, P_{\tilde{l}}$ , sowie  $\tilde{\lambda}_1, \dots, \tilde{\lambda}_{\tilde{l}}$  mit  $0 \leq \tilde{\lambda}_i \leq 1$  und

$$\tilde{A} = \sum_{i=1}^{\tilde{l}} \tilde{\lambda}_i P_i.$$

Wir setzen nun

$$l = \tilde{l} + 1, \quad P_l = P, \quad \lambda_l = \alpha \text{ und für } 0 \leq i \leq \tilde{l}: \lambda_i = (1 - \alpha)\tilde{\lambda}_i.$$

Dann ist stets  $0 \leq \lambda_i \leq 1$  und

$$\begin{aligned} \sum_{i=1}^l \lambda_i P_i &= \alpha P + \sum_{i=1}^{\tilde{l}} (1 - \alpha)\tilde{\lambda}_i P_i \\ &= \alpha P + (1 - \alpha) \sum_{i=1}^{\tilde{l}} \tilde{\lambda}_i P_i \\ &= \alpha P + (1 - \alpha)\tilde{A} \\ &= \alpha P + (A - \alpha P) = A \end{aligned}$$

und

$$\begin{aligned} \sum_{i=1}^l \lambda_i &= \alpha + \sum_{i=1}^{\tilde{l}} (1 - \alpha)\tilde{\lambda}_i \\ &= \alpha + (1 - \alpha) \cdot 1 = 1, \end{aligned}$$

womit wir  $A$  als Konvexkombination von Permutationsmatrizen dargestellt haben.

**4.9.16 Lösung** (zu Aufgabe 4.8.7). Wir zeigen per Induktion über den Algorithmus, dass für jede stabile Hochzeit  $\sigma : U \rightarrow V$  und jeden Mann  $u \in U$  gilt:

Ist  $v \in V$  und  $v \prec_u \sigma(u)$ , so macht  $u$   $v$  im Algorithmus keinen Antrag.

Diese Aussage ist sicherlich beim ersten Antrag, der im Algorithmus gemacht wird, klar, da dort ein Mann seiner absoluten Favoritin einen Antrag macht. Betrachten wir also nun den  $k$ -ten Antrag im Algorithmus, in dem  $u \in U$  der Frau  $v \in V$  einen Antrag macht und nehmen an, dass die Aussage für die ersten  $k - 1$  Anträge richtig ist. Angenommen die Aussage wäre falsch und

$$v \prec_u \sigma(u).$$

Dann hat  $u$  auch  $\sigma(u)$  im Verlauf des Algorithmus einen Antrag gemacht. Da dieser abgelehnt wurde oder eine Verlobung aufgelöst wurde, ist  $\sigma(u)$  zum Zeitpunkt des  $k$ -ten Antrags mit  $u_1$  verlobt, den sie  $u$  vorzieht:

$$u = \sigma^{-1}(\sigma(u)) \prec_{\sigma(u)} u_1. \quad (4.8)$$

Da der Antrag von  $u_1$  an  $\sigma(u)$  vor dem  $k$ -ten Antrag liegt, gilt nach Induktionsvoraussetzung für jede stabile Hochzeit  $\sigma'$

$$\sigma'(u_1) \preceq_{u_1} \sigma(u).$$

Insbesondere ist also

$$\sigma(u_1) \preceq_{u_1} \sigma(u). \quad (4.9)$$

Da  $\sigma(u_1) \neq \sigma(u)$  muss sogar

$$\sigma(u_1) \prec_{u_1} \sigma(u) \quad (4.10)$$

gelten. Die Ungleichungen (4.8) und (4.10) widersprechen aber für  $\sigma(u)$  und  $u_1$  der angenommenen Stabilität der Hochzeit  $\sigma$ .

